

## OPTIKA

## I. PRIRODA SVETLOSTI. FOTOMETRIJA

## 26. OSNOVNE OSOBINE SVETLOSTI

## 26.1. RAZVOJ TEORIJA O PRIBODI SVETLOSTI

Deo fizike koji obuhvata ispitivanje, proučavanje i tumačenje svetlosti kao i njene interakcije sa materijalnom sredinom naziva se *optika*. Drugim rečima, optika je nauka o svetlosti. O tome šta je svetlost, bilo je u istoriji ove nauke različitih shvaćanja. Od svih, navedena su dva koja su paralelno razvijena krajem XVII veka: Njutnova — korpuskularna teorija i Hajgensova — talasna teorija.

Prema korpuskularnoj teoriji, svetlost se širi u prostor pravolinijski velikom brzinom i predstavlja mnoštvo malih svetlosnih čestica — korpuskula, koje emituju svetlosni izvori. Na taj način je Njutn, kao omlađak klasične mehanike i svetlosti pripisao mehaničke osobine. Ako je merilo prikladnosti neke teorije njena sposobnost da uz minimum hipoteza objasni poznate eksperimentalne rezultate, mora se priznati da je korpuskularna teorija uspeła da jednostavno objasni pravolinijsko proširivanje svetlosti, njenu refleksiju (kao elastično odbijanje svetlosnih čestica od površine) i prelamanje svetlosti na granici dve optički različite sredine.

Kada je većina naučenika na polju optike prihvatila korpuskularnu teoriju, počela je da se razvija ideja da bi svetlost mogla da bude neka vrsta talasnog kretanja. Kristijan Hajgens je razvio talasnu teoriju prema kojoj je svetlost talasni proces koji se prostire u obliku longitudinalnog talasa kroz materijalnu elastičnu sredinu koja prozima sva tela i koju je on nazvao *etar*<sup>67</sup>. Za analizu zakona proširivanja svetlosnih talasa Hagens je uveo jednostavan i očigledan metod, koji je kasnije nazvan Hagensov princip, a koji glasi: *Svaka tačka u prostoru* (koja ispuñava hipotetički *etar*) *kada na nju naiđe talas i sama postaje izvor sekundarnih talasa koji se zatim od nje proširu u svim pravcima*. U procesu interferencije ovih sekundarnih talasa dobija se rezultujući talas. Na osnovu talasne teorije sledi da se svetlost na graničnoj površini dve sredine prelama i daje njena brzina proširivanja kroz materijalnu sredinu manja nego kroz vakuum.

Krajem XVII veka postojale su, prema tome, dve protivurečne teorije o prirodi svetlosti. Kraj ovoj dugoj naučnoj raspravi učinili su eksperimenti izvedeni polovinom XIX veka. Najpre su 1827. godine eksperimenti Junga i Frenela omogućili da se, na osnovu talasne teorije, razrnde principi o interferenciji i difrakciji

<sup>67</sup> Da bi objasnio proširivanje svetlosti u vakuumu Hagens je izmislio prenosnu sredinu "etar". Etar je hipotetična supstanca koja ispuñava ukupan kosmički prostor nezaposednut nekom materijalnom sredinom i proširna pore providnih tela.

svetlosti. Pojava polarizacije svetlosti takođe potvrđuje njenu talasnu prirodu (iz mehanike je poznato da svojstvo polarizacije poseduje samo talas).

Nešto kasnija merenja brzne svetlosti u tečnostima, koja je izveo Leon Fuč, pokazala su da je ona u optički gušćim sredinama manja, što ide u prilog talasnoj teoriji svetlosti. Otkrila i objašnjenja interferencije, difrakcije i polarizacije svetlosti dovode do trijumfa talasne teorije svetlosti.

Talasna teorija svetlosti je doživela svoji vrhunac u drugoj polovini prošlog veka, kada je 1863. god. Maksvel nakon što je postavio elektromagnetnu teoriju, pokazao da svetlost ima elektromagnetni karakter. Heze je 1888. god. na genijalan način, eksperimentalno potvrdio Maksvelovu teoriju.

Nezavisno od ogromnog uspeha elektromagnetne teorije svetlosti krajem XIX veka nastao je problem prilikom pokušaja da se teorijski objasne eksperimentalni podaci koji se odnose na raspodelu energije zračenja u spektru crnog tela, kao i pri objašnjenju fotoelektričnog efekta. Izlaz iz nastalih poteškoća našao je 1900. god. Maks Plank uvodenjem hipoteze o kvantima energije. Iako Plank nije uneo nikakve korekcije o shvatanju prirode svetlosti, Ajnštajn je 1905. god. prilikom objašnjenja fotoelekta proširo Plankovu hipotezu o kvantima energije oscilatora i na svetlost. Prema takvom tumačenju, svaki izvor svetlosti emituje svetlost u određenim energijskim iznosima — kvantima. Kvanti svetlosti nazivaju se *fotoni*. Svetlosna je energija, prema tome, postala kvantovana. Potvrdu fotonske prirode svetlosti dao je 1921. god. Kompton. Prilikom objašnjenja danas poznatog Komptonovog efekta (proces pri kojem monohromatska svetlost prilikom sudara sa elektronima menja svoju talasnu dužinu) je pretpostavio da fotoni kao kvanti energije imaju i impuls. Na taj su način fotoni dobili sve osnovne osobine čestica, pa izgleda da i fotoelektrični i Komptonov efekat zahtevaju povratak korpuskularnoj prirodi svetlosti.

Tako je nastao poznati dualizam talas-čestica. Izgledalo je da se svetlost u nekim eksperimentima ponaša kao talas, a u nekim kao čestica. Pojava dualizma talas-čestica doživela je jedno značajno proširenje. De Broj je 1924. god. proširio dualistička shvatanja i na elektrone i protone (tj. na elementarne čestice) i postavio smele hipoteze, prema kojim ako talasi svetlosti imaju u izvesnom smislu korpuskularna svojstva, zašto ne bi i čestice u izvesnom smislu imale talasna svojstva. Nekoliko godina kasnije otkrivena je difrakcija elektrona, čime su dokazana njihova talasna svojstva.

Sadašnje gladiše fizikara, suočeni sa očigledno kontradiktornim ishodima eksperimenata, zasnivase na prihvatanju činjenice da je priroda svetlosti *dualistička*.

Nepopriljiva protivrečnost između čestice i talasa pristana je toliko dugo dok se pomenute pojave pokušavaju objasniti teorijom klasične fizike. Ona, međutim, potpuno otpada u kvantnoj teoriji, koja danas dominira u fizici.

## 26.2. IZVORI SVETLOSTI. BRZINA SVETLOSTI

U odeljku 26.1. naziv svetlost je upotrebljen u čisto objektivnom ili fizičkom smislu i odnosi se na elektromagnetni talas, odnosno foton. Ovaj se pojam upotrebljava i u subjektivnom (psihofiziološkom) i odnosi se na osećaj u svesti posmatrača kada elektromagnetni talasi (fotoni) padnu na mrežnjaču njegovog oka. Teta koja odasjaju (emituju) svetlosne talase (svetlost) nazivaju se *svetlosni izvori*. Svetlosni izvori se dele na *primarne* i *sekundarne*, zatim *prirodne* i *veštačke*.

U primarne svetlosne izvore ubrajaju se ona tela koja zrače svetlost na račun sopstvene energije. Izvori se mogu razvrstati u tri velike grupe: topljotne, luminescentne i stimulisane.

Toplotni svetlosni izvori su zagrejana tela. U suštini svako telo, bez obzira na temperaturu do koje je zagrejano (izuzev apsolutne nule), zrači elektromagnetne talase. Zračenje se opaža okom tek ako je neko telo zagrejano do oko 800 K. Za više temperature, usjanje tela prelazi od crvenog, preko narandžastog do belog. Količina izražene energije topljotnim zračenjem po jedinici površine i u jedinici vremena zavisi isključivo od temperature i boje tela. Najbolje zrači tzv. crno telo.

Kod luminescentnih izvora svetlost se dobija iz atoma ili molekula koji su pobudeni (eksitovani) udarima drugih čestica (elektrona, radioaktivnim česticama), ili apsorpcijom drugog zračenja (X-zraka,  $\gamma$ -zraka, kao i svetlosti, obično kraće talasne dužine od talasne dužine svetlosti pomenutog izvora), a može da nastane i usled hemijskih procesa u samom izvoru, ili na račun mehaničke energije (druženjem nekih kristala).

Posebno mesto među izvorima svetlosti zauzimaju laseri, o kojima se govori kasnije. U ovakvim se izvorima intenzivni i strogo monohromatski snopovi svetlosti dobijaju mehanizmom stimulisane emisije.

*Sekundarni svetlosni izvori* su sva tela od kojih se svetlost odbija. Ova tela ne zrače sopstvenu svetlost, već svetlost koja potiče od drugih izvora, pa se od njih odbija i stiže do posmatrača. Na primer, Meseč spada u sekundarne izvore svetlosti, jer se od njega odbija svetlost koja potiče od Sunca, nakon čega stiže na Zemlju.

*Prirodni izvori svetlosti* su oni kod kojih svetlost nije veštački proizvodjena, već je samo telo prirodno (spontan) sposobno da emituje svetlost. Sunce je primarni, ali istovremeno i prirodni, izvor svetlosti.

*Veštački izvori svetlosti* su ona tela koja svetle usled sopstvenog izgaranja. To su, na primer, sveća, petrolejska ili špiritisna svetiljka, električni svetlosni luk itd. Jedna od najvažnijih fizičkih karakteristika svetlosti je brzina prostiranja. Njena veoma velike vrednosti brzine svetlosti, iako je ta vrednost konačna, prva njena merenja nisu mogla da se izvrše u zemaljskim razmerama (vreme za koje svetlost pređe zemaljska rastojanja je veoma kratko). Merenje brzine svetlosti postalo je izvodljivo u kosmičkim razmerama. Prve metode za određivanje brzine svetlosti bile su zbog toga astronomске metode. Ne ulazeći u detalje, važno je da se napomene da su one omogućile određivanje brzine svetlosti bilo na osnovu poznatog rastojanja između nebeskih tela i vremena potrebnog da svetlost pređe pomenuto rastojanje, bilo, na poznavanju odnosa nekih astronomskih rastojanja, koji su u jednakoj razmeri kao odnos brzine Zemlje na putanji oko Sunca prema nepoznatju brzini svetlosti.

Zemaljske (tegestričke) metode za određivanje brzine svetlosti razvijane su počev od sredine XIX veka sve do današnjih dana. U fizici, prema najsavremenijim rezultatima merenja, usvojena vrednost za brzinu svetlosti u vakuumu iznosi:

$$c = 299\,792\,500 \pm 200 \text{ m/s.}$$

U mnogim se izračunavanjima koristi približna (zaokružena) vrednost brzine svetlosti u vakuumu:  $c \approx 3 \times 10^8 \text{ m/s.}$

Zemaljske metode za određivanje brzine svetlosti, omogućile su merenje brzine svetlosti ne samo u vazduhu (koja je veoma bliska brzini svetlosti u vakuumu),

već i u različitim providnim (transparentnim) materijalnim sredinama. Brzina svetlosti, utvrđena eksperimentalno u vodi, iznosi:

$$v_{H_2O} \approx 2,25 \times 10^8 \text{ m/s,}$$

$$v_g \approx 2 \times 10^8 \text{ m/s.}$$

u staklu:

U bilo kojoj materijalnoj sredini brzina svetlosti je manja od one u vakuumu. Ova je činjenica u saglasnosti sa talasnom teorijom svetlosti.

Brzina svetlosti u vakuumu predstavlja važnu prirodnu fizičku konstantu. To je najveća moguća brzina u prirodi kojom se u vakuumu proširu elektromagneti talasi, bilo koje talasne dužine.

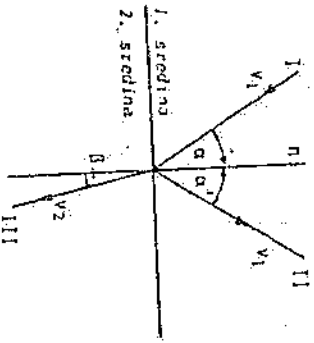
Prilikom fenomenoloških proučavanja i prikazivanja nekih zakona u optici ne mora se uvek voditi računa o talasnoj, odnosno elektromagnetnoj prirodi svetlosti. U takvim slučajevima proširivanje svetlosti se prikazuje pomoću svetlosnih zraka. Oni se crtaju kao orijentisane pokuprave, što uostalom i odgovara pravolinijskom proširivanju svetlosti. Prikazivanje svetlosnog talasa pomoću svetlosnog zraka često se koristi u optici, jer se na taj način postiču znatna uprošćavanja pri tretiranju svetlosnih pojava. Ovak se postupak može uspešno primeniti ako svetlost nailazi na prepreke čije su dimenzije daleko veće od talasne dužine svetlosti.

### 26.3. ZAKONI ODBIJANJA I PRLAMANJA SVETLOSTI

Prvi zakoni o optičkim pojavama utvrđeni su na osnovu predstave o pravolinijskom uniformnom proširivanju svetlosti u optički homogenoj sredini. Oni se odnose na promene pravca proširivanja svetlosti pri odbijanju i pri prelazu svetlosti iz jedne providne (transparentne) sredine u drugu. Međutim, prema ranije izloženoj Maksimalnoj elektromagnetnoj teoriji, brzina svetlosti (brzina proširivanja elektromagnetnog talasa) u nekoj sredini zavisi od relativne dielektrične propustljivosti (permitivnosti)  $\epsilon_r$  i relativne magnetne propustljivosti (permeabilnosti)  $\mu_r$  pomoću sredine. Prema tome, svetlost se kroz vakuum prošire najvećom brzinom čija je vrednost  $c \approx 3 \times 10^8 \text{ m/s}$ .

Najprostiji slučaj promene pravca proširivanja svetlosti zapaža se kada svetlost nailazi na graničnu površinu dve providne i optički homogene sredine, na primer, vazduha i stakla ili vode, kroz koje se svetlost prošire različitim brzinama  $v_1$  i  $v_2$  (sl. 26.1). U tom slučaju upadni zrak I koji pada na graničnu površinu pod uglom  $\alpha$  (ugao između upadnog zraka I i normale  $n$  na graničnu površinu) se razdvaja na dva nova: odbijeni (reflektovani) zrak II i prelomljeni (refraktovani) zrak III sa prelomnim uglom  $\beta$  (ugao između prelomljenog zraka III i normale na graničnu površinu).

Pod pretpostavkom da su obe sredine homogene i izotropne (gustina je svugde jednaka, fizička svojstva ne zavise od izbora pravca, svi su pravci ravnopravni), primenom Hajgensovog principa formalno se mogu dobiti



Sl. 26.1

zakoni odbijanja (refleksije) i prelamanja (refrakcije) svetlosti (vidi: Talasno kretanje, I deo).

Na osnovu Dekart-Snelijnsovih zakona prelamanja i odbijanja, mogu se odrediti pravci odbijenog i prelomljenog svetlosnog zraka.

#### a. Odbijanje (refleksija) svetlosti

Zakoni odbijanja su definisani kao

— prvi zakon: *Upadni zrak, normala i odbijeni zrak leže u istoj ravni.*

— drugi zakon: *Ugao upadnog zraka  $\alpha$  i ugao odbijenog zraka  $\alpha_1$  međusobno su jednaki,*

odnosno:

$$\alpha = \alpha_1$$

(26.1)

Zakoni odbijanja svetlosti se odnose na idealno glatke površine. Takva se vrsta odbijanja svetlosti naziva *ogledalsko odbijanje*. Ako je površina hrupava (neravna), svetlost se sa neravnina odbija u različitim pravcima u odnosu na površinu. Odbijanje svetlosti od hrupavih površina naziva se *diffuzno odbijanje*.

Da bi se definisao zakon prelamanja, neophodna je pretpostavka da je upadna svetlost *monohromatska*, jer upadni zrak složene (polihromatske) svetlosti daje više prelomljenih zraka.

Pojava prelamanja svetlosti na ravnoj graničnoj površini dve raznorodne prozirne sredine, praćena je skokovitom promenom vrednosti brzine svetlosnog talasa na granici sredina. Pri tome se menja i vrednost talasne dužine  $\lambda$ . Jedina veličina, koja se prelaskom iz jedne u drugu sredinu ne menja, jeste frekvencija svetlosnih talasa  $\nu$ , odnosno njihov period  $T$ .

#### b. Prelamanje (refrakcija) svetlosti

Zakoni prelamanja su definisani kao

— prvi zakon: *Upadni zrak, normala i prelomljeni zrak leže u istoj ravni.*

— drugi zakon: *Odnos sinusa ugla  $\alpha$  upadnog zraka i sinusa ugla  $\beta$  prelomljenog zraka je konstantan.*

Ova se konstanta naziva *relativni indeks prelamanja*  $n_{2,1}$  druge sredine u odnosu na prvu za dati monohromatski zrak, tj.

$$\frac{\sin \alpha_1}{\sin \beta} = n_{2,1} \quad (26.2)$$

Fizički posmatrano, relativni indeks prelamanja predstavlja odnos brzina svetlosti u prvom  $v_1$  i drugom sredini  $v_2$ :

$$\frac{v_1}{v_2} = n_{2,1} \quad (26.3)$$

Na osnovu relacija (26.2) i (26.3) dobija se:

$$n_{2,1} = \frac{v_1}{v_2} = \frac{c/v_1}{c/v_2} = v_2/v_1 \quad (26.4)$$

<sup>68</sup> Monohromatska svetlost predstavlja talase tačno određene frekvencije  $\nu$  (odnosno perioda  $T$ ). Ako su u pitanju elektromagnetni talasi iz vidljivog dela spektra, tada je to svetlost jedne određene boje. Približno monohromatska svetlost može se dobiti pomoću filtra.

Ako je prva sredina vakuum, kroz koju se svetlost prostire brzinom  $c$ , a druga sredina neka providna supstancija (vazduh, voda, staklo, kvarc itd.), kroz koju se svetlost prostire brzinom  $v_n$ , neposredno se dobija, prema (26.4), indeks prelamanja jedne sredine u odnosu na vakuum. On se naziva *apsolutni indeks prelamanja* date sredine  $n$ , odnosno:

$$n = \frac{\sin \alpha}{\sin \beta} = \frac{c}{v_n} \quad (26.5)$$

Na taj se način mogu izraziti apsolutni indeksi prelamanja sredina 1 i 2 (sl. 26.1) kako sledi:

$$n_1 = \frac{c}{v_1} \quad \text{I} \quad n_2 = \frac{c}{v_2} \quad (26.6)$$

Zamenom  $v_1$  i  $v_2$  iz relacije (26.6) u (26.4), dobija se:

$$n_{2,1} = \frac{c/n_1}{c/n_2} = \frac{n_2}{n_1} \quad (26.7)$$

Relativni indeks prelamanja druge sredine u odnosu na prvu, jednak je odnosu indeksa prelamanja druge i prve sredine i obrnuto. Na osnovu relacija (26.2) i (26.7) može se napisati:

$$n_1 \sin \alpha = n_2 \sin \beta \quad (26.8)$$

Pretpostavimo da je  $n_1 < n_2$ , tada je, kao što se sa sl. 26.1 vidi i na osnovu (26.8) uga  $\alpha$  veći od ugla  $\beta$ . Znači da se svetlost pri prelasku iz optički ređe u optički gušću sredinu prelama ka normalni i obrnuto. Kako za prelamanje važi princip reciprocity<sup>69</sup>, to je:

$$n_{1,2} = \frac{1}{n_{2,1}} \quad (26.9)$$

Neka je dielektrična propusljivost neke prozirne sredine  $\epsilon$ , a njena magnetska propusljivost  $\mu$ . Brzina elektromagnetnih monohromatskih talasa u toj sredini, prema Maksimalovoj teoriji, iznosi:

$$v = \frac{c}{\sqrt{\epsilon\mu}} \quad (26.10)$$

Na osnovu relacija (26.6) i (26.10) sledi da je:

$$n = \sqrt{\epsilon\mu} \quad (26.11)$$

S obzirom da je magnetska propusljivost za sve provodne supstance približno jednake vrednosti, relativni indeks prelamanja za dve sredine 1 i 2 ima vrednost:

$$n_{1,2} = \sqrt{\frac{\epsilon_1}{\epsilon_2}} \quad (26.12)$$

Na ovaj način, indeks prelamanja je povezan sa električnim svojstvima sredine, preko dielektrične propusljivosti za prolazeće elektromagnetne talase.

<sup>69</sup> Princip reciprocity: Ako se u susret nekom zraku, koji je pretrpeo niz odbojanja i prelamanja, pusti drugi zrak, tada ovaj drugi zrak prelazi isti put kao i prvi, ali u suprotnom smeru.

Objasnimo još i pojam optičke gustine sredine kroz koju prolaze svetlosni talasi. Optičku gustinu određuje veličina indeksa prelamanja. Najmanju optičku gustinu ima vakuum ( $n=1$ ). Što je veći indeks prelamanja sredine, tim je veća njena optička gustina, odnosno što je brzina svetlosti u nekoj sredini manja, tim je sredina optički gušća. Optička gustina ne mora biti u saglasnosti sa gustinom (zapreminskom masom) po relaciji  $\rho = m/V$ , jer za dve sredine 1 i 2 istovremeno mogu da važe odnosi  $\rho_1 > \rho_2$  i  $n_1 < n_2$ , odnosno da sredina čija je gustina (zapreminska masa) veća ne bude istovremeno i optički gušća.

### c. Primena zakona prelamanja

1. Prelamanje kroz *pljuparalelnu ploču*. Homogena providna sredina ograničena dvema ravnima i paralelnim površinama naziva se *pljuparalelna ploča*. Svetlosni zrak, koji na takvu ploču pada pod nekim uglom  $\alpha$  (sl. 26.2), napušta ploču pod jednakim uglom, ali je pomeren, paralelno prvobitnom pravcu za iznos  $[CF] = a$ . Ako je sredina i vakuum (vazduh), a debljina ploče  $d$ , paralelno pomeranje zraka je određeno izrazom:

$$a = [BC] \sin(\alpha - \beta) = \frac{\sin(\alpha - \beta)}{\cos \beta} d \quad (26.13)$$

Na osnovu relacije (26.5), odakle je:

$$\sin \beta = \frac{1}{n} \sin \alpha$$

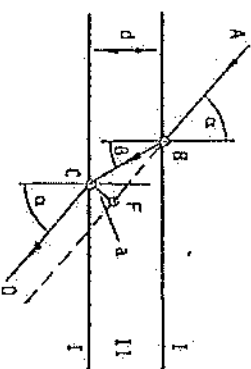
i trigonometrijske relacije:

$$\cos \beta = \sqrt{1 - \frac{1}{n^2} \sin^2 \alpha}$$

relacija (26.13), odnosno paralelno pomeranje pravca upadnog zraka, može se izraziti u obliku:

$$a = d \left( 1 - \frac{\cos \alpha}{\sqrt{n^2 - \sin^2 \alpha}} \right) d \sin \alpha \quad (26.14)$$

Sl. 26.2



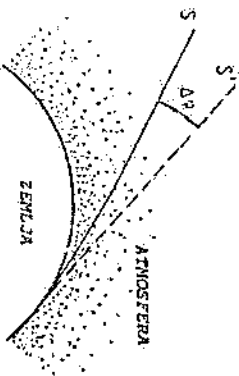
Pomeranje, prema tome, raste sa debljinom ploče, povećanjem upadnog ugla i indeksa prelamanja.

Kada svetlost prolazi kroz optički nehomogenu sredinu, tada se ona ne kreće pravolinijski, kao što je to slučaj u optički homogenoj sredini.

Kao primer nehomogene<sup>70</sup> sredine može da posluži Zemljina atmosfera ako se posmatra u dovoljno debelim slojevima. Promena atmosferskog pritiska sa visinom uslovljava promenu indeksa prelamanja u zavisnosti od visine. Indeks prelamanja na većim visinama ima manju vrednost, a na površini Zemlje veću. Zrak koji od bilo koje zvezde dolazi ka Zemlji, zbog toga, prelamajući se u atmosferi, savija

<sup>70</sup> Pod optički nehomogenom sredinom podrazumeva se sredina čiji se indeks prelamanja  $n$  neprekidno menja od tačke do tačke.

(sl. 26.3). Prividni položaj zvezde  $S'$  pomećen je u odnosu na pravi položaj  $S$ . Ova se pojava naziva *astronomska refrakcija*, a ugao pomećenje  $\Delta\varphi$  je ugao refrakcije. Ugao astronomske refrakcije jednak je nuli za zvezde koje se nalaze u zenitu, a maksimalan je za zvezde koje se nalaze u horizontu, gde dostiže  $35'$ .



Sl. 26.3

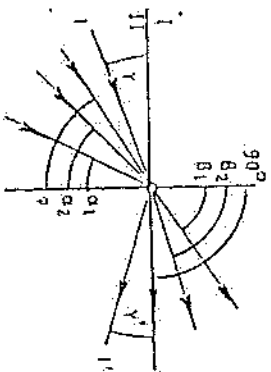
Zabvaljujući astronomskoj refrakciji Sunce u horizontu izgleda spjostoeno, a njegov prividni položaj izdignut je iznad stvarnog; to dovodi do određenog produženja trajanja dana. Pri geodetskim merenjima na velikim rastojanjima prelamanje zraka u atmosferi mora se uračunati. Lokalne, slučajne nehomogenosti u atmosferi izazivaju treperenje zvezda. Temperature nehomogenosti atmosfere po visini, koje se javljaju iznad površine zagrejanje zemlje ili iznad mora, izazivaju promene indeksa prelamanja, čime se objašnjavaju *fata morgane*. Fata morgana se može veštacki izazvati, ako se zraci primude da se prostiru iznad zagrejanje površine.

2. **Totalna refleksija.** Kada svetlosni zrak prelazi iz optički gušće sredine II u optički ređu sredinu I, na primer, iz vode u vazduh (sl. 26.4), prelomni ugao je veći od upadnog. Znači, najvećem prelomnom uglu odgovara neki manji upadni ugao. Upadni ugao, za koji prelomni ugao dostiže svoju najveću vrednost,  $90^\circ$ , naziva se **granični ugao**  $\varphi$ , pa je:

$$\frac{\sin \varphi}{\sin 90^\circ} = \frac{1}{n}$$

$$\sin \varphi = \frac{1}{n} \quad (26.15)$$

Sl. 26.4



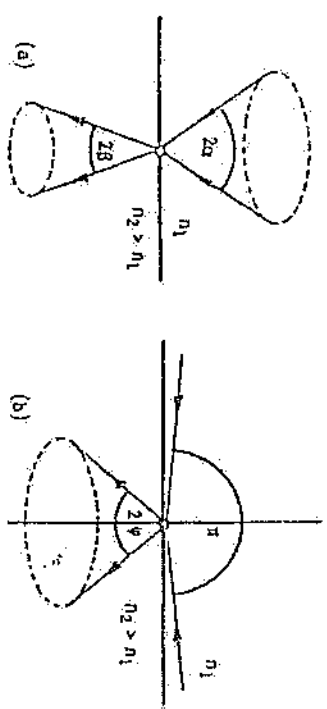
Ako je upadni ugao  $\alpha$  veći od graničnog ugla  $\varphi$ , takav se upadni zrak I odbija kao od ravnog ogledala  $I'$ . Ova se pojava naziva *totalna refleksija*. Granični ugao totalne refleksije za vodu ( $n=1,33$ ) ima vrednost od  $48^\circ 35' 25,36''$ , a za staklo ( $n=1,5$ ) je  $42^\circ$ .

Pri prelamanju iz optički ređe u optički gušću sredinu, snopu zraka u vidu konusa sa uglom otvora  $2\alpha$  (sl. 26.5. a) odgovara u drugoj sredini snop (konus) sa manjim uglom otvora  $2\beta$ . Snopu sa uglom otvora  $\pi$  u ređoj sredini (sl. 26.5. b) odgovara u gušćoj sredini ( $n_2 > n_1$ ) snop sa uglom otvora  $2\varphi$ , gde granični ugao  $\varphi$  zadovoljava relaciju:

$$\sin \varphi = \frac{n_1}{n_2} \quad (26.16)$$

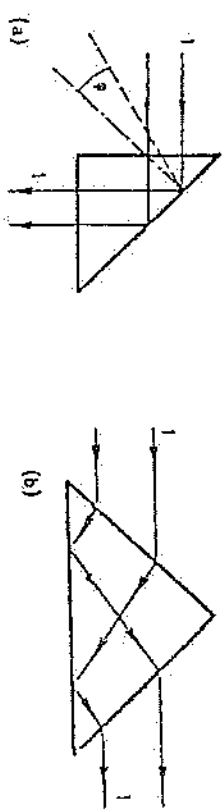
Prema tome, čovek stojeći pod vodom i gledajući u nebo, vidi ga u obliku okrugle pege pod uglom  $\varphi = \arcsin(n_1/n_2)$  u svim pravcima prema površini vode. Praktično je za vazduh  $n_1=1$  (za vazduh je  $n=1,0003$ ), a za vodu je  $n_2=1,33$ , pa je u tom situ-

čaju  $\varphi \approx 49^\circ$ . Izvan granica konusa sa uglom otvora od  $49^\circ$  u vodi se ne prostiru zraci koji iz vazduha dolaze. Pojava totalne refleksije široko se koristi u optičkim instrumentima za postizanje refleksije.



Sl. 26.5

Ugao totalne refleksije ima vrednost na granici staklo (laki krun)-vazduh oko  $40^\circ$  i za staklo (teški krun)-vazduh svega  $34^\circ$ . Na taj način, ako svetlost pada na staklenu prizmu čiji je presek pravougli trougao jednakih katkova (sl. 26.6. a), nastaje totalna refleksija na hipotenuznoj strani, jer na nju pada svetlost pod uglom od  $45^\circ$ , koji je veći od graničnog ugla totalne refleksije za sistem staklo-vazduh. Na sl. 26.6. b pokazan je put dva svetlosna zraka kroz prizmu za unutrašnju totalnu refleksiju, koja omogućuje da se zraci obrnu. Zrak 1 koji je pre ulaska u prizmu bio gornji, nakon izlaska iz prizme postaje donji.



Sl. 26.6

3. **Prelamanje kroz prizmu.** U optici se pod prizmom podrazumeva providna sredina ograničena dvema ravnima, jedne prema drugoj nagnutim površinama (sl. 26.7). Ugao  $\gamma$  koji je površine (ugao diehtra) obrazuje naziva se *prelomni ugao prizme*. Svetlosni zrak pri prolasku kroz prizmu se prelama po zakonima prelamanja i izlazni zrak skreće prema debljem kraju prizme. Ugao  $\delta$  za koji svetlosni zrak skrene nakon prelamanja kroz prizmu naziva se *ugao ukupnog skretanja (devijacije)*. Iz  $\Delta ABC$ , sledi:

$$\delta = \alpha_1 - \beta_1 + \alpha_2 - \beta_2$$

$$\gamma = \beta_1 + \beta_2$$

a iz  $\Delta ABD$ :

Na taj se način dobija:

$$\delta + \gamma = \alpha_1 + \alpha_2 \quad (26.17)$$

S obzirom na zakone prelamanja, može se napisati:

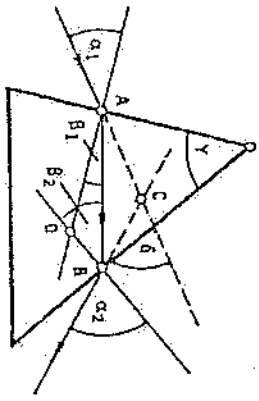
$$\sin \alpha_1 = n \sin \beta_1$$

$$\sin \alpha_2 = n \sin \beta_2$$

Minimalno skretanje zraka javlja se u slučaju kada zrak kroz prizmu prolazi kroz metrično. Ako svetlosni zrak prolazi kroz jednakostraničnu prizmu, paralelan je njenoj osnovici. U tom je slučaju  $\alpha_1 = \alpha_2$  i  $\beta_1 = \beta_2$ , pa se dobija:

$$\delta = 2(\alpha - \beta)$$

$$\gamma = 2\beta$$



Sl. 26.7

odakle sledi:

$$\alpha = \frac{1}{2}(\delta + \gamma) \quad (26.18)$$

$$\beta = \frac{1}{2}\gamma$$

Ako se uslov (26.18) uvrsiti u relaciju (26.5) dobija se veza između indeksa prelamanja, ugla minimalnog skretanja i prelomnog ugla prizme:

$$n = \frac{\delta + \gamma}{\sin \frac{\gamma}{2}} \quad (26.19)$$

Ako je prelomni ugao prizme  $\gamma$  mali, tada je i ugao minimalnog skretanja  $\delta$  mali, pa se vrednosti sinusa uglova mogu zameniti vrednostima uglova u rad ( $\sin \alpha \approx \alpha$ ). U tom je slučaju:

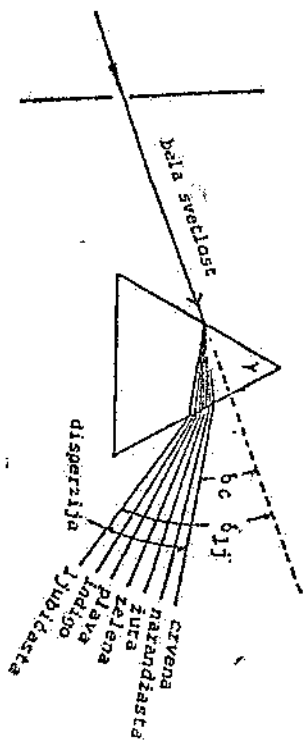
$$\delta \approx (n - 1)\gamma \quad (26.20)$$

4. **Disperzija svetlosti.** Disperzija svetlosti, u širem smislu, je pojava zavisnosti optičkih karakteristika neke sredine od frekvencije (talasne dužine) upadne svetlosti. Najčešće se pod disperzijom svetlosti podrazumeva zavisnost indeksa prelamanja  $n$  neke sredine od frekvencije  $\nu$  (ili talasne dužine  $\lambda$ ) upadne svetlosti:

$$n = F(\nu) \quad \text{ili} \quad n = f(\lambda).$$

Do sada je posmatrano prelamanje monohromatske svetlosti, odnosno kada jednom zraku upadne svetlosti odgovara samo jedan zrak prelomljene svetlosti. Međutim, kada snop složen, bele (polihromatske) svetlosti, propušten kroz usku

pukotinu (Sl. 26.8), pada na prizmu, prelama se i razlaže na svetlost raznih boja. Ovi zraci na zaklonu daju obojenu traku koja se naziva **spektra**. Pojava se naziva razlaganje ili disperzija svetlosti. Skretanje zraka zavisi od frekvencije (talasne dužine), pa je i redosled boja u spektru uvel. isti, i to: crvena, narandžasta, žuta, zelena, plava, indigo i ljubičasta. Brzina svetlosti u vakuumu je za sve talasne dužine jednaka.



Sl. 26.8

U drugim optičkim sredinama ona zavisi od talasne dužine. Prema tome, svakoj talasnoj dužini odgovara drugi indeks prelamanja. Skretanje crvene svetlosti  $\delta_c$  kroz prizmu je najmanje, dok je za ljubičastu najveće  $\delta_l$ . Crvena svetlost ima najveću talasnu dužinu, a najmanji indeks prelamanja, a ljubičasta, najmanju talasnu dužinu i najveći indeks prelamanja.

Ugao skretanja  $\delta$  određene talasne dužine, očigledno zavisi i od materijala od kojeg je prizma načinjena. Prema tome, prizme od različitog materijala, a jednakog prelomnog ugla  $\gamma$  daju različitu disperziju, odnosno različite širine spektra. Na primer, prizme od flint-stakla, imaju veću moć disperzije, znači da im je širina spektra pri jednakom prelomnom uglu veća.

Na osnovu izloženog, vidi se da prizme mogu da posluže za razlaganje svetlosti po talasnim dužinama, zatim za dobijanje i analizu spektara različitih svetlosnih izvora, zbog čega se u te svrhe i koriste kod različitih spektaralnih uređaja.

Za prizme malog prelomnog ugla  $\gamma$  ugao skretanja  $\delta$  definisan je relacijom (26.20), a za dve različite talasne dužine može se napisati:  $\delta_1 = (n_1 - 1)\gamma$  i  $\delta_2 = (n_2 - 1)\gamma$ . Nakon oduzimanja ova dva izraza dobija se:

$$\delta_2 - \delta_1 = (n_2 - n_1)\gamma \quad (26.21)$$

Većina definisana relacijom (26.21) naziva se **disperzija prizme** (za dve različite talasne dužine).

**Disperziona moć (relativna disperzija)** neke supstance (materijala prizme) definisana je izrazom:

$$\omega = \frac{\delta_2 - \delta_1}{\delta_D} \quad (26.22)$$

gde je  $\delta_D$ —skretanje monohromatske komponente u srednjem delu spektra, odnosno žute D- linije. Na osnovu relacija (26.20), (26.21) i (26.22) disperziona moć se može izraziti i na sledeći način:

$$\omega = \frac{n_2 - n_1}{n_D - 1} \quad (26.23)$$

Za određivanje disperzije u većini slučajeva se uzima crvena C-linija vodonika čija je talasna dužina  $\lambda_C=656,3$  nm, plava F-linija vodonika sa  $\lambda_F=486,1$  nm i žuta D-linija natrijuma, talasne dužine  $\lambda_D=589,3$  nm.

#### 26.4. FERMATOV PRINCIP

U optički homogenoj sredini, tj. sredini čije sve tačke karakteriše jednaka vrednost indeksa prelamanja, svetlost se prostire pravolinijski, tj. po najkraćem rastojanju između dve date tačke. Pri prelazu iz jedne sredina u druge svetlost se prelama i odbija na njihovim granicama površinama. U tom slučaju njen put postaje izlomljen. U nehomogenim sredinama gde se indeks prelamanja  $n$  od tačke do tačke neprekidno menja, zrači svetlosti, prelajući se neprekidno, obrazuju krive linije (na primer, kroz atmosferski vazduh, sl. 26.3). Osim toga, na granici dve sredine nastaju pojave difrakcije, o kojima se govori kasnije. Ali, ako se ove poslednje pojave zanemare, prostiranje svetlosti u nehomogenim sredinama opisuje se opštim principom koji se naziva *Fermatov princip* (utvrđen 1679. god). Za formulisanje Fermatovog principa potrebno je uvesti pojam *optičke dužine puta*.

U homogenoj sredini pod optičkom dužinom puta  $l$  podrazumeva se proizvod geometrijske dužine puta  $s$  i indeksa prelamanja supstance  $n$ :

$$l = ns \quad (26.24)$$

U slučaju nehomogenih sredina potrebno je geometrijsku dužinu puta zraka izdeliti na elementarne puteve  $ds$  kako bi se na svakom od njih indeks prelamanja  $n$  mogao smatrati konstantnim. Element optičke dužine puta izražava se tada na sledeći način:

$$dl = n ds,$$

a ukupna optička dužina puta jednaka je zbiru svih elementarnih optičkih puteva  $dl$ , odnosno izražena je integralom:

$$l = \int_A^B n ds \quad (26.25)$$



Sl. 26.9

gde se integral računa duž krive  $AB$  (sl. 26.9), po kojoj se svetlost prostire od tačke  $A$  do tačke  $B$ .

Po Fermatovom principu: *Svetlost se prostire putem čija je optička dužina ekstremna, tj. ona dato rastojanje prelazi za najkraće moguće vreme.*

Fermatov princip ostaje na snazi i pri prostiranju svetlosti u sredini koja se sastoji iz pojedinačnih homogenih delova, međusobno povezanih.

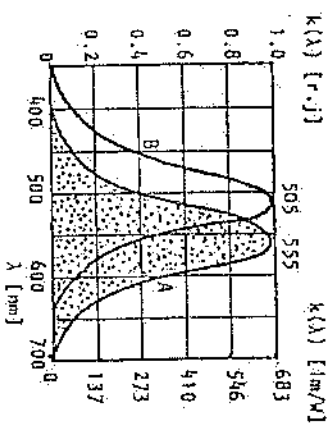
#### 27. FOTOMETRIJA

##### 27.1. SPEKTRALNA OSETLIVOST OKA, SVETLOSNI FLUKS

Fotometrija je oblast optike koja se odnosi na merenje intenziteta električno magnetnih talasa koju svetlosni izvori emituju u prostor, kao i veličina povezanih sa tim intenzitetom. Merenje intenziteta se zasniva na dejstvu zračenja na određen apsorber (detektor) koji tu energiju prima i pretvara u neku drugu vrstu energije.

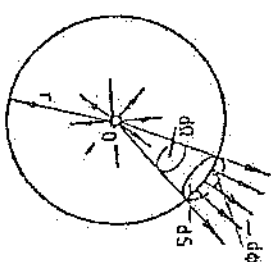
Kada je reč o svetlosti, posebnu ulogu apsorbera ima oko, koje primljenu svetlosnu energiju putem psihofizioloških procesa pretvara u svetlosne utiske, na osnovu kojih se pomenuta energija meri, odnosno čini. Elektromagnetno zračenje koje ljudsko oko može da vidi naziva se *vidljiva svetlost*. Za prosečan organ vida interval talasnih dužina vidljive svetlosti pokriva područje od 400—760 nm. Osetljivost ljudskog oka za svetlost različitih talasnih dužina nije jednaka što se može videti sa dijagrama *spektralne osetljivosti oka* (sl. 27.1). Oblik krive spektralne raspodele zavisi od luminačije (sijaja) okoline koja se posmatra. Kriva  $A$  odgovara luminačiji okoline veće od  $3 \text{ cd/m}^2$  (što odgovara videnju u toku dana, ili tzv. fotopskom videnju), a kriva  $B$  odgovara adaptiranom oku na luminačiju manju od  $0,05 \text{ cd/m}^2$  (što odgovara videnju noću ili skopopskom videnju). U prvom slučaju u oku su aktivni štapići (uslovljavaju veliku oštrinu slike u boji), a u drugom čepići (misu osetljivi na boje, pa posmatramo predmeti izgledaju siv). Videnje pri luminačijama koje se nalaze između  $0,05 \text{ cd/m}^2$  i  $3 \text{ cd/m}^2$  naziva se mezopsko videnje ili videnje u sumraku.

Pomeranje krive spektralne raspodele osetljivosti ljudskog oka prilikom smanjenja luminačije vidnog polja (sl. 27.1) ka ljubičastom delu spektra vidljive svetlosti poznato je kao *Purkinjeve efekti*. To je razlog što se crveni predmeti teško uočavaju u polumraku, dok se na mesečini boje prirode doživljavaju izmenjene (sivi ton).



Sl. 27.1

Sl. 27.2



Iz navedenih razloga u fotometriji se uvode dve vrste jedinica za merenje optičkih karakteristika *energetske* ili *objektivne jedinice* (na osnovu objektivnih merenja energetske veličine, na primer, putem fotocelija, termoelementom, fotografskom pločom itd.) i *vizuelne* ili *subjektivne* (prema dejstvu vidljive svetlosti na oko posmatrača). Sve se veličine u fotometriji uglavnom odnose na tačkaste svetlosne izvore, koji u idealnim uslovima zrače svetlosnu energiju u svim pravcima podjednako. Ovakvi se izvori nazivaju *izotropni svetlosni izvori* i najčešće su u većoj ili manjoj meri aproksimacija praktičnih slučajeva.

Ako tačkasti svetlosni izvor u toku vremena  $dt$  izrač u okolini prostor električnomagnetnu energiju  $dW$  kroz određeni prostorni ugao  $d\Omega$  (sl. 27.2), tada se veličina:

$$\Phi = \frac{dW}{dt} \quad (27.1)$$

naziva *svetlosni fluks*. Prema relaciji (27.1) svetlosni fluks predstavlja brzinu emitovanja svetlosne energije kroz određeni prostorni ugao, tj. on predstavlja snagu

svetlosnog izvora. Otkuda je energetska (objektivna) jedinica svetlosnog fluksa  $\Phi$ ,  $1 \text{ W} = 1 \text{ J/s}$ . Subjektivna jedinica za fluks je *lumen* — *lm*. Broj vati u nekom fluksu je mera izrađene energije, a broj lumena je mera sposobnosti da dati fluks izazove osećaj sjaja (svetlosti) u oku. Veza između lumena i vata nije jednostavna, jer za osećaj sjaja (svetlosti) nije merodavan samo apsolutni iznos energije. Na različitim talasnim dužinama osetljivost oka je različita, kao što se vidi na sl. 27.1 ona je maksimalna za zelenu svetlost talasne dužine  $\lambda = 555 \text{ nm}$ . U ovom slučaju fluks svetlosnog zračenja od  $\Phi_e = 1 \text{ W}$ , izaziva osećaj sjaja od  $683 \text{ lm}$ , tj.

$$1 \text{ W} = 683 \text{ lm} \quad \text{ili} \quad 1 \text{ lm} = 0,0014 \text{ W}.$$

Odakle sledi da odnos lumena i vata zavisi od talasne dužine, odnosno od spektralnog sastava svetlosti, pa se u fotometriji koristi relacija:

$$\Phi_v = k(\lambda) \Phi_e \quad (27.2)$$

gde je  $k(\lambda)$  — funkcija spektralne efikasnosti oka.

Ako svetlosni izvor u toku intervala vremena  $dt$  u datom prostornom uglu stvara fluks  $\Phi$ , tada je izražena *kolichna svetlosti*:

$$dQ = \Phi dt \quad (27.3)$$

Na osnovu relacije (27.3) sledi da je subjektivna fotometrijska jedinica kolichne svetlosti *lm s*, dakle odgovarajuća objektivna jedinica *J*.

## 27.2. FOTOMETRIJSKE VEĆIČINE I JEDINICE

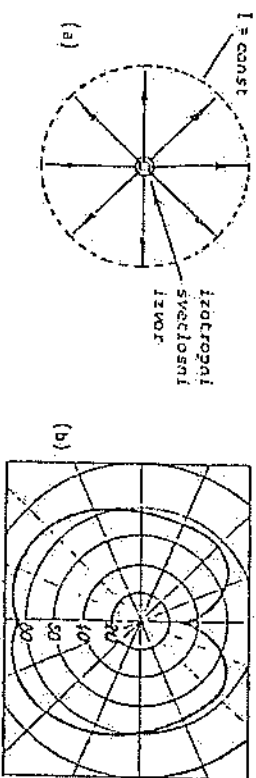
### a. Jačina svetlosti

Jačina svetlosti  $I$  je karakteristika svetlosnog izvora kojom se opisuje izračeni fluks  $d\Phi$  u jedinичni prostorni ugao  $d\Omega$ :

$$I = \frac{d\Phi}{d\Omega} \quad (27.4)$$

Ako je svetlosni izvor izotropan (sl. 27.3, a) jačina svetlosti je u svim pravcima jednaka, te je prema (27.4):

$$I = \frac{\Phi}{\Omega} \quad (27.5)$$



Sl. 27.3

Na osnovu relacije (27.5) sledi da ukupni fluks kroz pun prostorni ugao  $\Omega = 4\pi \text{ sr}$  ima vrednost:

$$\Phi_{\text{uk}} = \Omega I = 4\pi I \quad (27.6)$$

U opštem slučaju jačina svetlosti nije jednaka u svim pravcima, kao, na primer, kod električne sijalice sa metalnim vlaknom (sl. 27.3, b). Intenzitet emisije ovakvih izvora u određeni prostorni ugao  $\Omega$  se može opisati i srednjom jačinom svetlosti  $\langle I \rangle$  kao:

$$\langle I \rangle = \frac{\Phi}{\Omega} \quad (27.7)$$

gde je  $\Phi$  odgovarajući svetlosni fluks.

Jedinica za svetlosnu jačinu je *kandela* od. *Kandela* je svetlosna jačina u određenom pravcu izvora koji emituje monohromatsko zračenje frekvencije  $540 \times 10^{12} \text{ Hz}$  i čija je energetska jačina (izračena snagom) u tom pravcu  $1/683 \text{ W/sr}$ . Prema tome, na osnovu (27.5) sledi da je lumen *lm* svetlosni fluks (tok) koji u prostorni ugao od  $1 \text{ sr}$  odašilje tačkasti svetlosni izvor čija je svetlosna jačina u svim pravcima ista, jednaka  $1 \text{ cd}$  ( $1 \text{ lm} = 1 \text{ cd} \cdot 1 \text{ sr}$ ). Odavde sledi da je ukupni svetlosni fluks izvora svetlosne jačine od  $1 \text{ cd}$  jednak  $4\pi \text{ lm}$ , ili da je ukupni svetlosni fluks izvora jačine  $1 \text{ jedn.}$   $4\pi \text{ lm}$ .

### b. Osvećenost

Osvećenost  $E$  je fotometrijska veličina koja izražava stepen osvećenosti neke površine  $ds$  na koju pada svetlosni fluks  $d\Phi_{\text{pad}}$  (sl. 27.4), odnosno:

$$E = \frac{d\Phi_{\text{pad}}}{ds} \quad (27.8)$$

Na osnovu relacije (27.8) može se zaključiti da osvećenost predstavlja površinsku gustinu svetlosnog fluksa, kojim je posmatrana površina osvećena. Za slučajeve neravnomerno osvećene površine koristi se srednja osvećenost  $\langle E \rangle$  definisana kao koeficijent ukupnog svetlosnog fluksa  $\Phi_{\text{pad}}$  i površine  $S$  na koju on padne, tj.

$$\langle E \rangle = \frac{\Phi_{\text{pad}}}{S} \quad (27.9)$$

Jedinica za osvećenost je *luk* *lx*. Luk je osvećenost površine od  $1 \text{ m}^2$  na koju dolazi ravnomerno raspoređen svetlosni fluks od  $1 \text{ lm}$  ( $1 \text{ lx} = 1 \text{ lm/m}^2$ ). Za merenje osvećenosti neke površine koriste se uređaji koji se nazivaju *lukometri*. Ako se radi o izotropnom tačkastom izvoru, njegov ukupni svetlosni fluks, prema (27.6), ima vrednost  $\Phi = 4\pi I$ . Kada ovaj fluks prolazi kroz površinu  $S = 4\pi r^2$  centrično postavljene (izvor se nalazi u središtu sfere) sfere, poluprečnika  $r$ , na osnovu relacije (27.8) osvećenost sfere ima vrednost:

$$E = \frac{I}{r^2} \quad (27.10)$$

tj. jačina osvećenosti površine, postavljene normalno na pravac svetlosnih zraka, od strane tačkastog izvora strazmerna je svetlosnoj jačini izvora  $I$ , a obrnuto strazmerna kvadratu rastojanja površine od svetlosnog izvora.



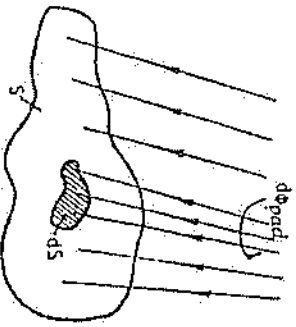
Ako svetlosni zraci obrazuju ugao  $\alpha$  sa normalom na površinu koju osvetljavaju (sl. 27.5), tada je:

$$E = \frac{I}{r^2} \cos \alpha \quad (27.11)$$

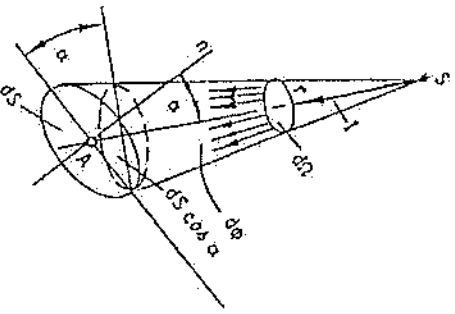
Relacija (27.11) predstavlja *Lambertov zakon* i definiše osvetljenost površine u tački  $A$  koja je za  $r$  udaljena od tačkastog izvora  $S$ . Lambertov zakon se može napisati i u obliku:

$$E = E_0 \cos \alpha \quad (27.12)$$

gde je  $E_0$  osvetljenost u tački za koju je  $\alpha=0$ .



Sl. 27.4



Sl. 27.5

Ako dva svetlosna izvora različitih jačina  $I_1$  i  $I_2$  na različitim rastojanjima  $r_1$  i  $r_2$  od neke površine jednako osvetljavaju tu površinu ( $E_1 = E_2 = E$ ), tada je  $I_1 = I_2/r_1^2$  i  $E_2 = I_2/r_2^2$ , pa se može napisati:

$$\frac{I_1}{I_2} = \frac{r_1^2}{r_2^2} \quad (27.13)$$

Na osnovu relacije (27.13), kada se svetlosni izvori mogu smatrati tačkastim, jačina svetlosnih izvora koji jednako osvetljavaju neku površinu stvarne su kvadratima rastojanja od izvora do površine. Pomoću (27.13) može se odrediti svetlosna jačina jednog izvora (na primer,  $I_1$ ), ako je svetlosna jačina  $I_2$  drugog izvora, kao etalona, poznata.

Reprodukcija etalona svetlosne jačine od  $I$  cd nije pogodna, a ni potrebna u industrijskim uslovima merenja. Za ova se merenja koriste *sekundarni etaloni* u obliku posebno izradenih sijalica. *Sijalice, etaloni* imaju svetlosnu jačinu od  $I$  cd pri strogo određenom naponu priključaka i u određenom pravcu.

Proizvod osvetljenosti  $E$  i vremena  $t$  trajanja osvetljenosti naziva se *svetlosna ekspozicija*  $H$ , tj.

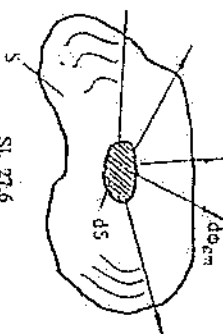
$$H = Et \quad (27.14)$$

Jedinica svetlosne ekspozicije je  $lx \cdot s$ .

#### c. Emisiona sposobnost ili emitancija

Emisiona sposobnost površine ili emitancija  $R$  je fotometrijska veličina, a odnosi se na površine koje emituju svetlost bilo kao primarni ili kao sekundarni izvori. Pretpostavimo da je dati izvor svetlosti konačnih dimenzija, na primer, usijano čvrsto telo (sl. 27.6). Uočimo na njegovu element površine  $dS$  koji emituje svetlosni fluks  $d\Phi_{em}$  na sve strane u graničnom prostornom uglu  $0-2\pi$  sr. Ako površinu  $dS$  emituje svetlosni fluks  $d\Phi_{em}$ , tada je njena emisiona sposobnost, odnosno emitancija:

$$R = \frac{d\Phi_{em}}{dS} \quad (27.15)$$



Sl. 27.6

što znači da emitancija predstavlja površinsku gustinu svetlosnog fluksa koji se emituje (ili reflektuje) sa posmatrane površine.

Jedinica za emisionu sposobnost je  $lm/m^2$ , koju ne treba mešati sa luksom (iako je  $lx = lm/m^2$ ), jer se taj naziv odnosi na jedinicu osvetljenosti.

Emisiona sposobnost tela koje je samostalni svetlosni izvor (primarni izvor) nije vezana sa njegovom osvetljenošću. Međutim, emisiona sposobnost tela koje odbija ili rasipa svetlost (sekundarni izvor) zavisi od osvetljenosti. Ukoliko je osvetljenost  $E$  veća, utoliko je veća i emisiona sposobnost  $R$  njegove površine. Ovo se može izraziti relacijom:

$$R = rE \quad (27.16)$$

koja se odnosi na slučaj kada površina reflektuje svetlost, gde je  $r$  — koeficijent refleksije, ili relacijom:

$$R = \tau E \quad (27.17)$$

koja se odnosi na površine čija je emisiona sposobnost uzrokovana transparentnošću, prenošenjem svetlosne energije kroz telo, gde je  $\tau$  — koeficijent transparentcije. Za sva tela je  $r < 1$  i  $\tau < 1$ . Ako je za neku površinu  $r$  jednake i nepromenljene vrednosti za sve talasne dužine; pri tome i blisko jedinici, tada je takvo telo *belo*, a ako je konstantno i veoma malo, takvo je telo *crno*. Za idealno belo telo  $r=1$ ,  $\tau=0$ , za idealno crno  $r=0$ ,  $\tau=0$ , dok je za idealno provodna tela  $r=0$ ,  $\tau=1$ . Znači za idealno bela i idealno provodna tela, prema (27.16) i (27.17) je

$$R = E \quad (27.18)$$

Inače kod većine tela su  $r$  i  $\tau$  različiti vrednosti za različite talasne dužine. To su *obojevana tela*.

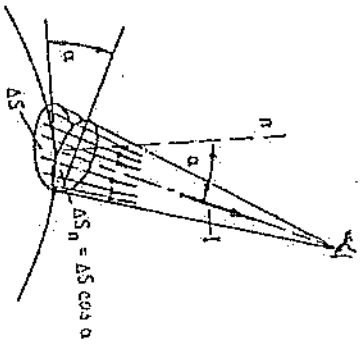
#### d. Laminacija (sjaj) površine izvora)

Dodatnije definicije fotometrijskih veličina se odnose na tačkaste svetlosne izvore. Međutim, svetlosni izvori se ne mogu uvek tretirati kao tačkasti (na primer, koji svetlost emituju sa užarene površine, metalne niti sijalice, ekran televizora ili

71. U ovoj analizi procesi apsorpcije, a ni koeficijent apsorpcije a nisu uzeti u obzir. Podsetimo se da je:  $a+r+\tau=1$ .

sekundarni izvori, koji odbijanjem svetlosti osvetljavaju prostor), nego se tada dimenzije izvora moraju uzeti u obzir. U tom slučaju se uvodi pojam *luminacije*  $L$  ili *sjaja površine*. Luminacija  $L$  kao fotometrijska veličina karakteristiše emitivnost površine svetlosnog izvora (primarni) ili reflektivnost svetlosti od površine (sekundarni svetlosni izvor) u datom pravcu posmatranja. Naime, ako je  $I$  jačina svetlosti koju emituje površina  $\Delta S$  data na (sl. 27.7), tada je njena luminacija u pravcu posmatranja definisana odnosom:

$$L = \frac{I}{\Delta S_n} = \frac{I}{\Delta S \cos \alpha} \quad (27.19)$$



Sl. 27.7

Jedinica za luminaciju je  $\text{nit} = \text{nt} \cdot \text{l} \cdot \text{m}^{-2} = \text{cd} / \text{m}^2$ . Sve ranije definisane jedinice vizuelne (subjektivne) imaju analogne jedinice energetske (objektivne) fotometrije. Pregled jedinica dat je u tabeli 27.1.

Veličina	Jedinica		Veličina	Jedinica	
	vizuelna	energetska		vizuelna	energetska
Svetlosni fluks	lm	W	Erstiono sposobnost Luminacija	lm/m <sup>2</sup>	W/m <sup>2</sup>
Svetlosna jačina	cd	W/sr	Ekspozicija	cd/m <sup>2</sup>	W/sr · m <sup>2</sup>
Osvetljenost	lx	W/m <sup>2</sup>		lx · s	J/m <sup>2</sup>

## II. GEOMETRIJSKA OPTIKA

### 28. OSNOVNE PRETPOSTAVKE GEOMETRIJSKE OPTIKE

U rešavanju niza problema pitikom proučavanja svetlosti nije neophodno koristiti se zakonima elektromagnetne teorije svetlosti. Rezultati se mogu dobiti korišćenjem izvesnih uprošćenja i aproksimacija. U prvoj aproksimaciji, može se smatrati da je proširivanje svetlosti kroz homogenu optičku sredinu pravolinijsko i da pri tome svetlosni zraci ne utiču jedni na druge tokom proširivanja (Zakon o nezavisnosti proširivanja). Otvuda se svetlosni zraci mogu predstaviti geometrijski, pravim linijama duž kojih se prošire svetlosti. Deo optike u kojem se na ovakav način posmatra priroda i proširivanje svetlosti naziva se *geometrijska optika*. Geometrijska optika se dobija kao granični slučaj talasne optike, pod pretpostavkom da je talasna dužina svetlosti  $\lambda \rightarrow 0$ . Tada ne nastupaju pojave interferencije, difrakcije i polarizacije koje karakterišu talasnu prirodu svetlosti. Optika zraka koristi uglavnom, za izotropne optičke sredine, poterd zakona o pravolinijskom proširivanju i zakona o međusobnoj nezavisnosti proširivanja svetlosti, zakone odbijanja i prelamanja.

U geometrijskoj optici koristi se pojam *tačkastog izvora svetlosti* kojim se praktično može smatrati svaki izvor koji se nalazi na udaljenosti 2—3 puta većoj od njegovog prečnika.

Na osnovu ovih postavki geometrijske optike objašnjavaju se osnovne osobine ogledala, sočiva i prizama.

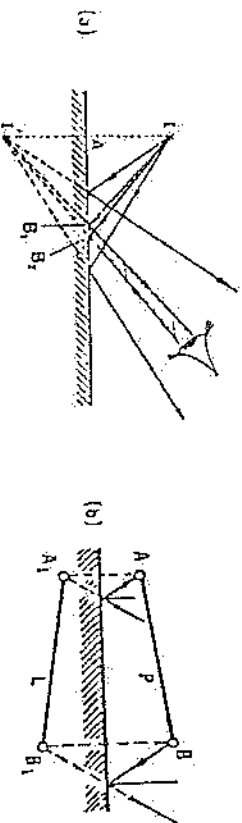
#### 28.1. OGLEDALA

Svako telo kod kojeg se uglačane površine sa ciljem da se na njima vrši pravilna refleksija svetlosti, naziva se *ogledalo*. Ogledala se izrađuju od raznih materijala, ali su najčešće u upotrebi metalna ogledala od aluminijuma, srebra, žive i dr. Prema obliku refleksivne površine, ogledala mogu biti: ravna, sferna, parabolična itd.

##### a. Ravna ogledala

Glataku ravna površina od koje se mogu reflektovati zraci svetlosti nazivaju se *ravna ogledala*. Uzmimo da se ispred ravnog ogledala nalazi tačkasti izvor svetlosti  $I$  (sl. 28.1. a). Svetlosni zraci koji polaze iz  $I$  padaju na ravno ogledalo i odbijaju se od njegove površine po zakonima odbijanja. Od svih svetlosnih zraka koji polaze

od izvora  $I$ , kroz zenicu oka ući će samo oni od ogledala reflektovani zraci koji su na slici 28.1. a prikazani u štrajanom snopu. Gledajući, izgledaće nam da zraci izlaze iz tačke  $I'$  koju dobijamo kad zrake koji ulaze u oko produžimo unatrag: U tački  $I'$  vidjećemo lik (sliku) izvora svetlosti  $I$ . Ta slika  $I'$  zove se *virtuelna (ima-ginarna)* slika realnog izvora svetlosti  $I$ . Virtualna slika se zove zato što stvarno zruci svetlosti ne izlaze iz te tačke. Sa slike 28.1. a vidimo da su trouglovi  $\Delta IAB$  i  $\Delta I'AB$  podudarni. Zbog toga je virtualna slika  $I'$  toliko iza ravnog ogledala koliko je realan predmet  $I$  iznad ravnog ogledala. Ako iz tačke  $I$  polazi homocentrični snop<sup>72</sup> svetlosti, posredstvom ogledala kroz tačku  $I'$  takode prolazi homocentrični snop svetlosnih zraka.

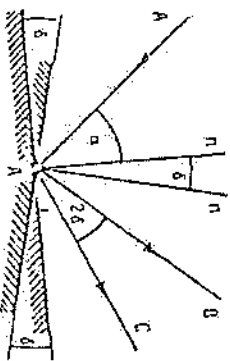


Sl. 28.1

Sve što važi za jednu tačku ispred ogledala, važi i za sve tačke nekog predmeta koji se nalazi ispred ravnog ogledala (npr. štap  $AB$ ; sl. 28.1. b). Lik predmeta  $L$  će biti toliko iza ogledala koliko je predmet  $P$  ispred ogledala (u slučaju na sl. 28.1. b lik štapa  $AB$  biće  $A_1B_1$ ). Velicine lika  $L$  i predmeta  $P$  su jednake i simetrične u odnosu na ravan ogledala (ogledalska simetrija). Zbog toga predmet  $P$  i lik nisu isti (identični), jer su zamjenjene strane desna i leva.

Obrtanjem ogledala za izvestan ugao  $\delta$  (sl. 28.2) kad pr tome upadni zrak  $AA$  zadržava svoj pravac, odbijeni zrak  $AB$  skreće za dvostruki iznos ugla obrtanja  $2\delta$  (zrak  $AC$ ). Ovo se koristi pri merenju malih uglova, odnosno skretanja.

Najveći deo svetlosti, oko 95%, koji pada na ravno ogledalo biva reflektovan.



Sl. 28.2

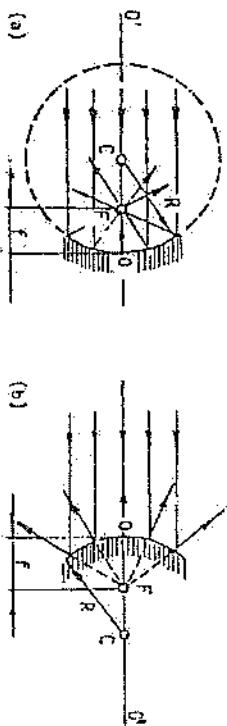
### b. Sferna ogledala

Deo sfere ugaćane površine koja odbija svetlost naziva se sferno ogledalo. Ako svetlost odbija unutrašnja strana sfere površine, to je *izdubljeno* (konkavno) sferno ogledalo (sl. 28.3. a). U slučaju da svetlost odbija spoljašnja strana, to je *ispupčeno* (konveksno) sferno ogledalo (sl. 28.3. b). Parametri ogledala su sledeći:

<sup>72</sup> Ako svetlosni zraci polaze iz iste tačke ili se skupljaju u jednu istu tačku, tada oni obrta-zuju *homocentrični snop*.

centar krivine  $C$  (centar sfere koji odgovara krivini refleksivne površine ogledala), optički centar  $O$ , optička osa  $OO'$ , žiža ili fokus  $F$  i žižna daljina ogledala  $f$ . Za sferno ogledalo prikazano na sl. 28.3. je:

$$f = R/2 \quad (28.1)$$



Sl. 28.3

### c. Konstrukcija lika kod ogledala. Jednačina ogledala

Prilikom konstrukcije lika kod ogledala koriste se karakteristični zraci. Na sl. 28.4 prikazan je način dobijanja lika  $A_1B_1$  predmeta  $AB$  pomoću konkavnog sfernog ogledala. Na slici su prikazana četiri karakteristična zraka, koji prolaze kroz vrh strelice (tačka  $A$ ) predmeta, tako da posle odbijanja daju lik strelice. Konstrukcija slike, jasno, proizilazi iz osnovnih pravila koja važe za refleksiju kod konkavnog ogledala:

— Zrak svetlosti 1 koji ide paralelno optičkoj osi odbija se od ogledala tako da prolazi kroz žižu;

— Zrak svetlosti 2 koji pada na optički centar (tačka  $O$ ) odbija se simetrično sebi u odnosu na optičku osu, pri čemu zadržava jednak ugao u odnosu na upadni zrak;

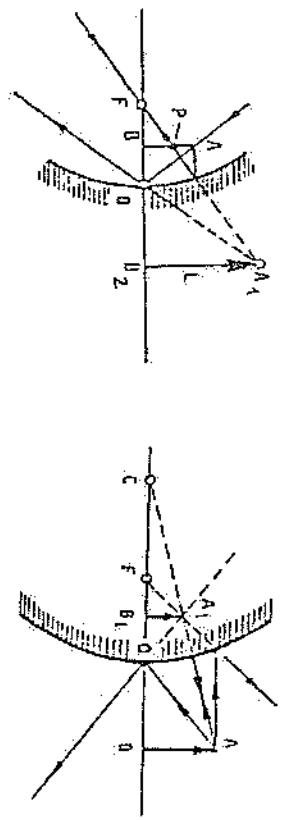
— Zrak svetlosti 3 koji pre odbijanja prolazi kroz žižu, nakon odbijanja ide paralelno optičkoj osi;

— Zrak svetlosti 4 koji prolazi kroz centar krivine ogledala  $C$  ne menja pravac nakon odbijanja (koimearan je radijusu, poklapa se sa poluprečnikom, odnosno normalan je na površinu ogledala).

Konstrukcijom lika pomoću karakterističnih zraka<sup>73</sup> može se pokazati da lik može biti: realan ili imaginaran, uvećan ili umanjnjen u odnosu na predmet, uspravan ili obrnut, takode u odnosu na predmet i sa iste strane ogledala, kao i predmet, odnosno sa suprotne strane ogledala od predmeta. Konstrukcijom lika može se takode pokazati da je lik kod izdubljelog (konkavnog) ogledala uvek realan, ako je udaljenost predmeta od ogledala veća od žižne daljine ogledala (sl. 28.4), ili uvek

<sup>73</sup> Za konstrukciju lika dovoljno je koristiti bilo koja dva od navedena četiri karakteristična zraka.

imaginaran kada je predmet između ogledala i žiže (Sl. 28.5. a). Kod ispušćenog (konvexnog sfernog) ogledala (sl. 28.5. b), lik je uvek imaginaran, umanjen i uspravan i sa druge strane ogledala u odnosu na predmet.



Sl. 28.5

Veza između žižne daljine  $f$ , udaljenosti predmeta  $p$  i lika  $l$  od ogledala data je **jednačinom ogledala**. Da bi se dobio analitički izraz pomenute jednačine, posložimo se konstrukcijom lika prikazane na slici 28.6, gde su  $P$  i  $L$  linearne dimenzije predmeta i lika. Veličina  $v$  definisana odnosom odgovarajućih linearnih dimenzija lika i predmeta:

$$v = \frac{l}{p} \quad (28.2)$$

naziva se **uvećanje**. Iz sličnosti:  $\Delta OAB \sim \Delta OA_1B_1$  sledi:

$$L/p = l/p \quad (28.3)$$

a na osnovu sličnosti  $\Delta A_1B_1C \sim \Delta CAB$  sledi:

$$\frac{L}{p} = \frac{2f-l}{p-2f} \quad (28.4)$$

Izjednačenjem desnih strana relacija (28.3) i (28.4) i nakon sredivanja se dobija:

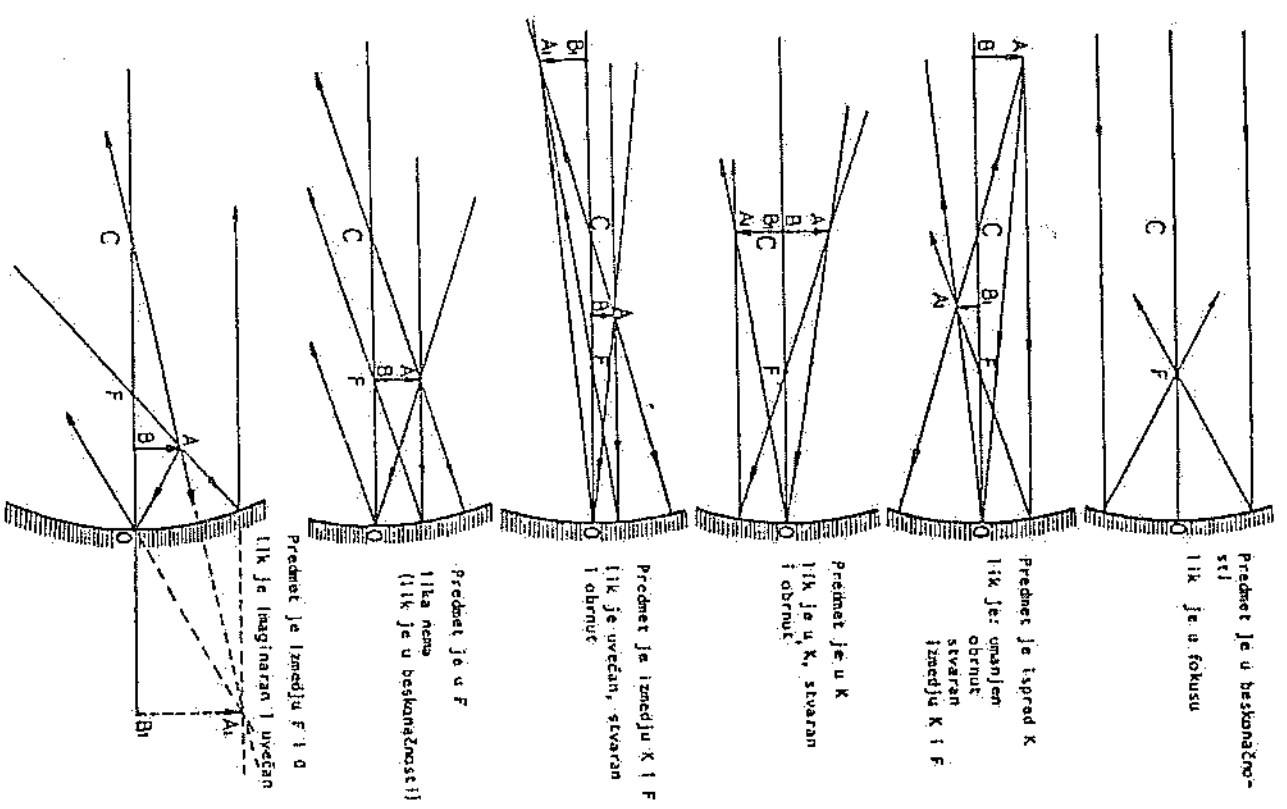
$$\frac{1}{f} = \frac{1}{p} + \frac{1}{l} \quad (28.5)$$

ili s obzirom na relaciju (28.1):

$$\frac{2}{R} = \frac{1}{p} + \frac{1}{l} \quad (28.6)$$

Relacija (28.5), odnosno (28.6) predstavljaju jednačinu izdubljenog sfernog ogledala, koja za poznatu žižnu daljinu određuje odgovarajuću daljinu lika za proizvoljno izabranu daljinu predmeta. Kada je lik imaginaran, za  $f$  se uzima negativna vrednost.

Različiti položaji lika u odnosu na predmet i način njegovog obrazovanja prema jednačini (28.5) kod konvexnog sfernog ogledala prikazani su na sl. 28.7.



Sl. 28.7

Kod ispušćenih (konvexnih) ogledala za  $f$  se uzima negativna vrednost, jer je kod njih žiža imaginarna, pa za ovo ogledalo važi sledeća jednačina:

$$\frac{1}{f} = \frac{1}{p} - \frac{1}{l} \quad (28.7)$$

iii)

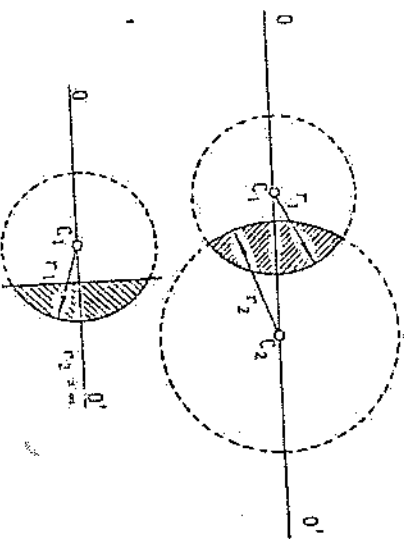
$$\frac{1}{f} = \frac{1}{l} - \frac{1}{p} \quad (28.8)$$

## 28.2. SOČIVA

Optička tela ograničena delovima sferne površine, ili jednom sferom i jednom ravnom, nazivaju se *sferna sočiva*. Izrađuju se obično od stakla, kvarca, NaCl ili drugih materijala. Indeks prelamanja sočiva se razlikuje od indeksa prelamanja sredine koja ga okružuje.

### a. Parametri sočiva

Na sl. 28.8. a tačke  $C_1$  i  $C_2$  su centri krivina sočiva, a prava koja prolazi kroz centre krivina,  $00'$ , naziva se optička osa sočiva,  $r_1$  i  $r_2$  su poluprečnici krivina sočiva. Kod sočiva čija je jedna granična površina ravna, poluprečnik krivine je beskonačan (sl. 28.8. b). Granične površine sočiva mogu biti ispušćene (konvexne), izdubljene

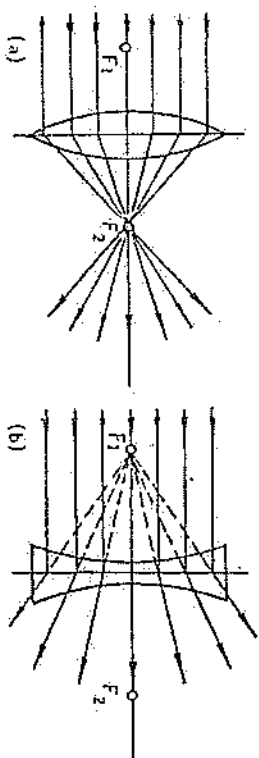


Sl. 28.8

(konkavne) i ravne (planarne). Prema tome, sočiva mogu biti bikonvexna, plan konvexna i konkavkonvexna, odnosno bikonkavna, plan konkavna i konvexkonkavna.

Sva konvexna sočiva su u sredini deblja, a po oboju tanja, dok je kod konkavnih obrnuto. Ovo je veoma često kriterijum po kojem se određuje vrsta sočiva.

Prema načinu prelamanja sočiva mogu biti sabirna (konvergentna) i rasipna (divergentna). Na sl. 28.9. a i b sa  $F_1$  i  $F_2$  obeležene su žiže (fokusi) sabirnih, odnosno rasipnih sočiva. Žiža sabirnih sočiva se dobija presecanjem prelomljenih realnih zraka na optičkoj osi s druge strane sočiva, ako zraci na sočivo dolaze paralelno



Sl. 28.9

optičkoj osi. Žiža je realna i svako sočivo ima dve žiže. One se nalaze na jednakom rastojanju sa obeju strana sočiva, bez obzira na različite poluprečnike, ali pod uslovom, kao što je to obično i pretpostavljeno da se sočivo nalazi u vazduhu (vakuumu), tj. da su ulazna i izlazna sredina iste.

Žiža konkavnih sočiva je imaginarna, jer se dobija u preseku produženih prelomljenih zraka, sa iste strane sočiva odakle dolaze paralelni zraci.

Tačka  $O$  je optički centar sočiva, a rastojanje  $|OF| = f$  (sl. 28.9) naziva se *fokusna* ili *žižna daljina sočiva*. Jačina sočiva se meri prema jačini prelamanja, što je žižna daljina sočiva manja, jačina sočiva je veća i obrnuto. Prema tome, jačina  $J$  definiše se kao recipročna žižne daljine:

$$J = \frac{1}{f} \quad (28.9)$$

Jačina sočiva se izražava dioptrijom  $D$ . Sočivo ima jačinu od  $1 D$ , ako mu je žižna daljina  $1 m$ . Prema tome je  $1 D = 1 m^{-1}$ . Žižna daljina sabirnih sočiva označava se znakom  $+$ , a žižna daljina rasipnih, znakom  $-$ . Jačina sočiva nosi znak žižne daljine respektivno. Optička jačina složenog sočiva (sastavljenog od više prostih sočiva) jednaka je algebarskom zbiru jačina sočiva, koja ulaze u sastav složenog sočiva, pa se može napisati:

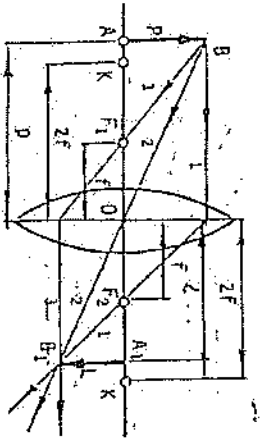
$$J = J_1 + J_2 + \dots + J_n = \sum_{i=1}^n J_i \quad (28.10)$$

### b. Likovi kod sočiva. Jednačina sočiva

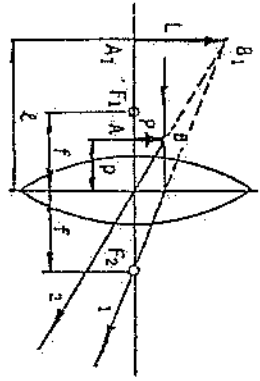
Kao kod sfernih ogledala, tako se i kod sočiva koriste karakteristični zraci za konstrukciju likova (sl. 28.10).

1. Zrak paralelan optičkoj osi, nakon prelamanja prolazi kroz žižu.
2. Zrak koji prolazi kroz žižu, nakon prelamanja ide paralelno optičkoj osi.
3. Zrak koji prolazi kroz optički centar ne prelama se. Prilikom konstruisanja likova, podeseo je da se osim fokusa označi sa obe strane sočiva i tačka  $K$  koja se

nalazi na dvostrukoj žižnoj daljini, odnosno  $|OK|=2f$ , od optičkog centra sočiva (položaj predmeta kada je uvećanje jednako jedinici). Sabirna sočiva daju realne likove, ako se predmet nalazi na udaljenosti većoj od žižne daljine. Na sl. 28.10 konstruiran je lik za  $p > 2f$ . Lik je realan, umanjen, izvrnut i sa suprotne strane



Sl. 28.10

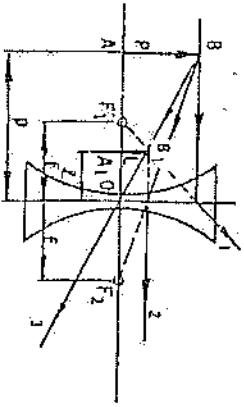


Sl. 28.11

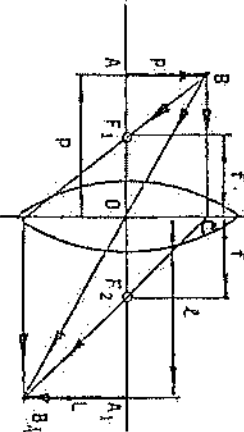
sočiva u odnosu na predmet. Međutim, ako se predmet nalazi bliže sočivu, tj. između žiže i samog sočiva (sl. 28.11) dobija se imaginarni lik. Prema tome, ako je  $p < f$ , lik je imaginaran, uvećan, uspravan i nalazi se sa iste strane sočiva sa koje i predmet. Sabirno sočivo, kojim se posmatra predmet kada se nalazi između žiže i sočiva naziva se lupom.

Kod rasipnih sočiva fokus je imaginaran, pa je dobijeni lik imaginaran, uspravan i umanjen, a nalazi se sa iste strane sočiva, sa koje je i predmet (sl. 28.12). Karakteristčni zraci za konstrukciju lika su:

1. Zrak paralelan optičkoj osi prelama se u pravcu čiji geometrijski produžetak prolazi kroz fokus.
  2. Zrak koji dolazi pravcem, da njegov geometrijski produžetak prolazi kroz fokus, nakon prelamanja paralelan je optičkoj osi.
  3. Zrak koji prolazi kroz optički centar ne prelama se.
- Svi likovi rasipnih sočiva su imaginarni, uspravni i umanjeni, a nalaze se sa iste strane sočiva u odnosu na predmet i to između žiže i sočiva.



Sl. 28.12



Sl. 28.13

Veza između žižne daljine  $f$ , udaljenosti predmeta  $p$  i lika  $l$  od centra sočiva data je *jednačinom sočiva*. Na osnovu sličnosti  $\triangle OAB \sim \triangle OA_1B_1$  (sl. 28.13) sledi:

$$l/p = l/f \quad (28.11)$$

a na osnovu sličnosti:

$$\triangle OCF_2 \sim \triangle F_2A_1B_1, \text{ kao i jednakosti: } [AB] = [OC] = p, \text{ sledi:}$$

$$l/p = (l - f)/f \quad (28.12)$$

Izjednačenjem desnih strana relacija (28.11) i (28.12) i nakon srednjenja, se dobija jednačina sfernog sočiva:

$$\frac{1}{f} = \frac{1}{p} + \frac{1}{l} \quad (28.13)$$

Jednačina (28.13) primenjena na rasipno sočivo ima oblik:

$$\frac{1}{f} = \frac{1}{p} - \frac{1}{l}$$

iii

$$\frac{1}{f} = \frac{1}{p} - \frac{1}{l} \quad (28.14)$$

Diskusijom jednačine (28.13) može se dobiti položaj lika za sve slučajeve položaja predmeta ispred sočiva. U slučaju kada je  $f < p < 2f$ , lik je realan, obrnut i nalazi se sa druge strane sočiva, a  $l > 2f$  i linearna dimenzija lika  $L$  je veća od linearne dimenzije predmeta  $P$ , odnosno  $L > P$ . Ovo važi za sve likove kada se predmet nalazi između žiže i dvostruke žižne daljine.

Kako kod prelamanja važi zakon reciprocieta, ukoliko se na položaj lika postavi predmet, novi lik se dobija na prethodnom mestu predmeta. Prema tome: ako je  $p > 2f$ , lik je realan i obrnut, a tada je ispunjen uslov  $f < l < 2f$  i  $L < P$ .

U slučaju kada je  $p = 2f$ , tada je  $l = 2f$ , odnosno  $L = P$ . Lik je realan, obrnut i nalazi se sa druge strane sočiva, a linearne dimenzije lika i predmeta su međusobno jednake.

Položaj lika u odnosu na predmet i način njegovog obrazovanja u smislu prethodne analize prikazan je na sl. 28.14.

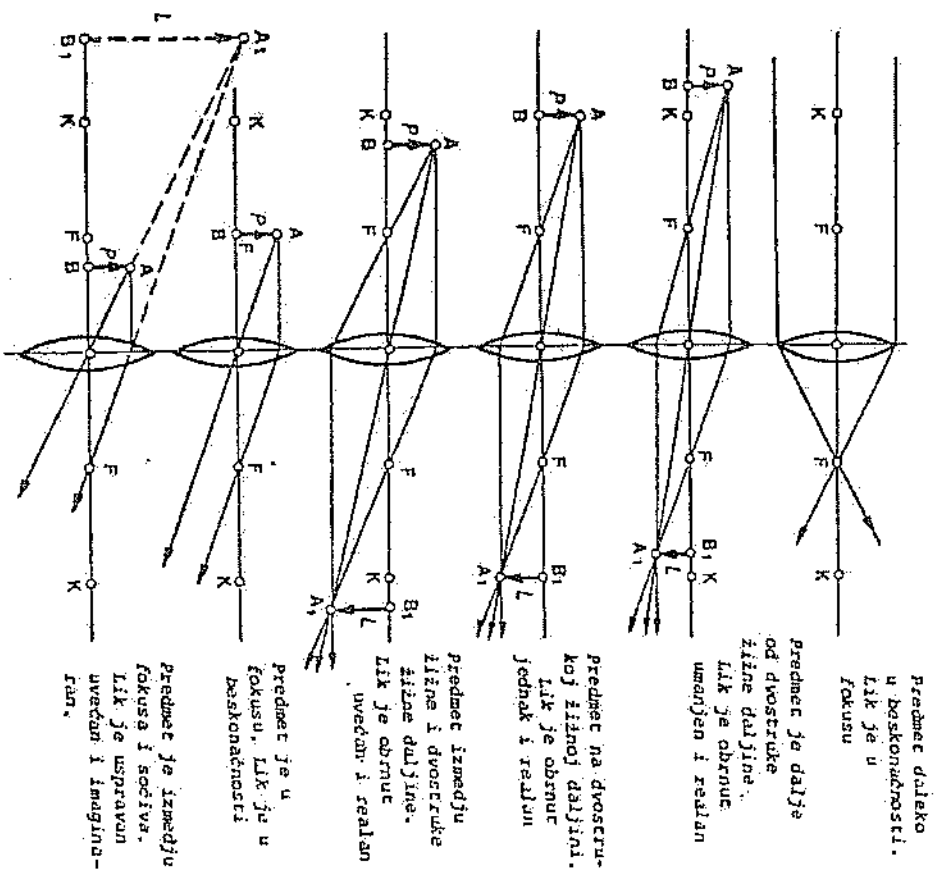
Relacije (28.13) i (28.14) se primenjuju prilikom jednostavnog određivanja žižne daljine sočiva. Iz njih se, međutim, ne vidi od čega žižna daljina zavisi. S obzirom na zakone prelamanja i geometriju sočiva, žižna daljina  $f$  je određena optičkom jednačinom sočiva:

$$\frac{1}{f} = (n - 1) \left( \frac{1}{r_1} + \frac{1}{r_2} \right) \quad (28.15)$$

gde je  $n$  apsolutni indeks prelamanja materijala od kojeg je sočivo izrađeno, a  $r_1$  i  $r_2$  su poluprečnici krivina od kojih zavisi oblik sočiva.

Ako se sočivo ne nalazi u vazduhu, nego u nekoj drugoj provodnoj sredini, na primer, u vodi, čiji je indeks prelamanja  $n_1$ , dok je indeks prelamanja materijala sočiva  $n_2$ , tada se relacija (28.15) može izraziti u obliku:

$$\frac{1}{f} = \left( \frac{n_2}{n_1} - 1 \right) \left( \frac{1}{r_1} + \frac{1}{r_2} \right) \quad (28.16)$$



Sl. 28.14

Odnos odgovarajućih linearnih dimenzija lika i predmeta naziva se *linearnim uvećanjem* sočiva  $v$ . Na osnovu relacije (28.11), može se napisati:

$$v = \frac{L}{P} = \frac{l}{p} \quad (28.17)$$

S obzirom na relaciju (23.17) uvećanje  $v$  sočiva se može odrediti merenjem linearnih dimenzija lika i predmeta,  $L$  i  $P$ , ili merenjem udaljenosti lika i predmeta,  $l$  i  $p$ , od optičkog centra sočiva.

Objašnjenje i konstrukcija likova na osnovu jednostavne primene zakona prelamanja, kao i izvedene jednačine se odnose samo na *tanke sočiva*. U tom je slučaju debljina sočiva mala u odnosu na ostale dimenzije, tj. poluprečnike krivina

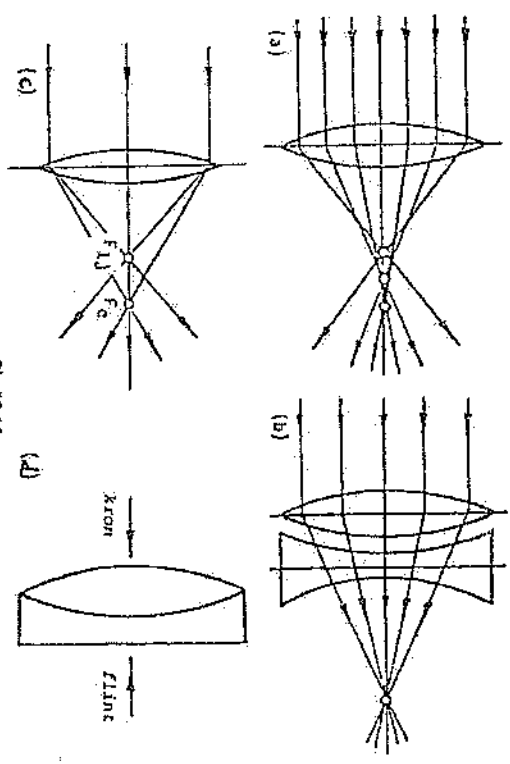
i žižne daljine. Nadalje, uzimaju se u obzir samo zraci blizu optičke ose (paraksijalni zraci), odnosno oni koji sa optičkom osom obrazuju male uglove. Sva rastojanja  $f$ ,  $l$  i  $p$  računaju se od optičkog centra sočiva  $O$ . D1 su sočiva tanke označeno je na 1 crtežima simetralom na kojoj se zraci prelamaju.

c. Nedostaci sočiva

Sočiva imaju niz nedostataka, zbog čega se ne dobijaju pravilni i oštri likovi. Ranije pomenuti uslovi pod kojima sočiva daju verne likove i pod kojima važe izvedene jednačine, nisu jednostavni za ostvarenje. Složena (polihromatska) bela svetlost, koja se obično koristi, razlaže se kroz sočiva i kvani lik.

Nedostaci sočiva su sledeći: *sferna aberacija*, *hromatska aberacija*, *koma*, *astigmatizam* i *distorzija* (krivljenje lika).

1. *Sferna aberacija* je nedostatak sočiva koji se manifestuje: na taj način što se zraci monohromatske svetlosti (paralelni snop) koji dolaze na sočivo (Sl. 28.15. a) različito prelamaju. Ovo je naročito izraženo kod sočiva većeg otvora dijafragme (blende) i male žižne daljine. Zraci koji padaju na periferni deo sočiva prelamaju se jače od onih koji su bliži središnju sočiva. Lik svetle tačke nije, zbog toga, tačka, već se vidi, kao krutić.

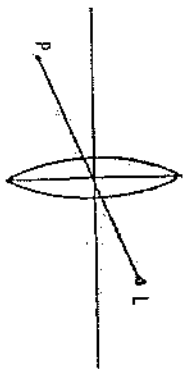


Sl. 28.15

*Sferna aberacija* se otklanja upotrebom okruglog zastora, dijafragme (blende), koji izoluje (uklanja) periferne zrake, a propušta zrake bliže osi i prelamaju se u jednu tačku, jasno je da se upotrebom dijafragme smanjuje intenzitet lika. Drugi način, kojim se pomenuti nedostatak uklanja je upotreba kombinovanih sočiva različitog indeksa prelamanja (Sl. 28.15. b) od kojih je jedno sabirno, a drugo rasipno. Ukoliko kombinovano sočivo sadrži najviše dva sočiva suprotnih aberacija, one se međusobno kompenzuju.

2. *Hromatska aberacija* je posledica disperzije bele svetlosti. Kako se ljubičasti zraci prelamaju jače od svih ostalih, žiža ljubičastih zraka je bliža sočivu od ostalih

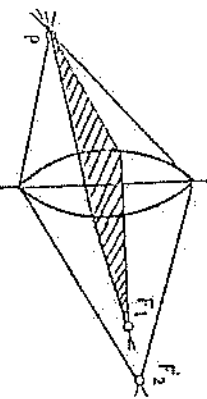
žirna. Ako je na sočivo usmeren snop zraka paralelnih optičkoj osi (sl. 28.15. c) itkovi nisu oštri, a osim toga na krajevima su obojeni. Hromatska aberacija se otklanja primenom kombinovanih sočiva (sl. 28.15. d) i to konveksnog sočiva od krom stakla i konkavnog sočiva od flint stakla. Hromatska aberacija u ovom slučaju se skoro i ne zapaža na likovima predmeta osvetljenih belom svetlošću. Kombinovano sočivo kod kojeg je hromatska aberacija otklonjena naziva se *ahromatsko sočivo*.



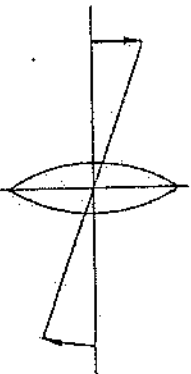
Sl. 28.16

3. **Koma.** Ovaj nedostatak je posledica sfere aberacije i dolazi do izražaja kod zraka koji na sočivo padaju pod većim uglom u odnosu na optičku osu (sl. 28.16). Lik  $L$  tačke  $P$  je u obliku komete (istegnute nesimetrične mrlje) odakle i potiče naziv — koma. Otklanja se pogodnim oblikovanjem i kombinacijom sabirnih i rasipnih sočiva, kao i primenom različitih dijafragma.

4. **Astigmatizam.** Ovaj se nedostatak javlja kao posledica prolaska širokog i kosog, u odnosu na optičku osu, snopa svetlosti, koji polazi od jedne tačke  $P$  (sl. 28.17) i podle prelamanja se na skuplja u jednoj tački. Astigmatizam se obično otklanja upotrebom kombinovanih sočiva. Sočiva kod kojih je pomenuti nedostatak otklonjen nazivaju se *anastigmati*.



Sl. 28.17

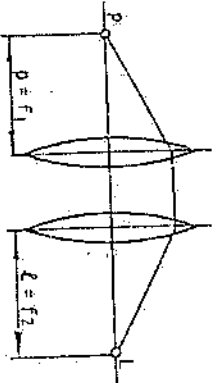


Sl. 28.18

5. **Distorzija (krivljenje lika)** je nedostatak koji se odnosi na promenu uvećanja u zavisnosti od udaljenosti predmeta od optičke ose. U tom slučaju lik jedne ravne površine paralelne ravni sočiva (sl. 28.18) nije ravan nego iskrivljen.

#### d. Složena sočiva

Za otklanjanje nedostataka kod sočiva kombinuju se dva ili više sočiva raznih oblika od različite vrste stakla. Takva se sočiva obično postavljaju u centrični sistem, tj. optičke im se ose poklapaju. Kombinovna se sočiva ponašaju kao jedno sočivo, za koje važe ranije izvedene relacije. Za izračunavanje žižne daljine  $f$  sistema od dva sočiva žižnih daljina  $f_1$  i  $f_2$  zamislimo da se svetla tačka  $P$  nalazi u žiži jednog od tih sočiva (sl. 28.19). Sa slike se vidi da se lik  $L$  tačke  $P$  nalazi u žiži drugog sočiva, zbog čega je  $p = f_1$  i  $l = f_2$ . Zam-



Sl. 28.19

nom u jednačinu (28.13) dobija se:

$$\frac{1}{f} = \frac{1}{f_1} + \frac{1}{f_2} \quad (28.18)$$

Ako je kombinovano sočivo sastavljeno od više (nego dva) prostih sočiva, žižnih daljina  $f_1, f_2, \dots, f_n$ , tada je recipročna vrednost žižne daljine sistema sočiva, određena kao algebarski zbir recipročnih vrednosti žižnih daljina sočiva u sistemu, odnosno:

$$\frac{1}{f} = \frac{1}{f_1} + \frac{1}{f_2} + \dots + \frac{1}{f_n} = \sum_{i=1}^n \frac{1}{f_i} \quad (28.19)$$

Jednačina (28.19) važi za sistem tankih sočiva koja se dodiruju.

#### 28.3. OPTIČKI INSTRUMENTI

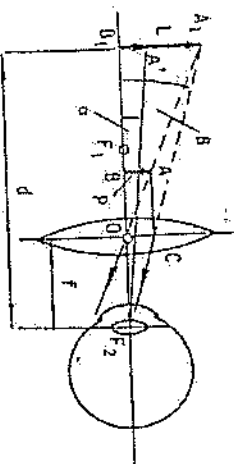
Na zakonima optike zasniavaju se konstrukcije različitih optičkih instrumenata. Pod optičkim instrumentom se podrazumeva kombinacija sočiva, ogledala, dijafragma i ostalih delova, sa ciljem da se dobiju potrebni podaci (likovi, spektri itd.) raznih predmeta, radi boljeg upoznavanja njihove prirode ili rešavanja raznih optičkih problema. Takvih instrumenata ima veliki broj, a ovde su opisani *lupa* i *mikroskop*.

##### a. Lupa

Lupa pripada grupi instrumenata pomoću kojih se bliski predmeti vide pod većim vidnim uglom nego prostim okom (sl. 28.20). Lupa je jednostavni instrument i sastoji se od sabirnog sočiva manje žižne daljine. Predmet se stavlja između žiže i sočiva, pa je, prema tome, lik imaginaran, uspravan i uvećan. Kada se govori o uvećanju, obično se podrazumeva odnos linearnih dimenzija lika i predmeta, odnosno:  $v = L/P$ .

Pod prirodnim uvećanjem podrazumeva se odnos ugla  $\beta$  pod kojim se pomoću instrumenta vidi imaginarni lik i ugla  $\alpha$  pod kojim se predmet vidi (ili bi se mogao videti) golim okom, odnosno:

$$v = \frac{\beta}{\alpha} \quad (28.20)$$



Sl. 28.20

Uvećanje lupe je, prema tome, dato relacijom (28.20), a sa slike 28.20 se vidi da je:  $\lg \beta = L/d$  i  $\lg \alpha = P/d$ . Kako, na osnovu (28.20), uvećanje definiše odnos  $\beta/\alpha$ , a ovi uglovi su mali, može se napisati:

$$v = \frac{\beta}{\alpha} \approx \frac{\lg \beta}{\lg \alpha} = \frac{L/d}{P/d} = \frac{L}{P}$$



Na osnovu sličnosti  $\Delta A_1B_1F_2 \sim \Delta COF_2$  sledi  $L_1/P = d/f_2$ , odnosno:

$$v = \frac{d}{f} \quad (28.21)$$

U ovom slučaju lik se vidi na daljini jasnog vida. Kako je daljina jasnog vida konstantna veličina za određenog posmatrača, uvećanje lupе je zavisno od žižne daljine lupе.

Posmatrani predmet se nalazi između žiže i sočiva, a lik je imaginaran i nalazi se sa iste strane sočiva, pa jednadžna lupе ima oblik:

$$\frac{1}{p} = \frac{1}{f} + \frac{1}{l}$$

Množenjem sa  $l$  prethodni izraz pretaži u:

$$\frac{l}{p} = \frac{l}{f} + 1.$$

Budući da je  $l/p$ , na osnovu (28.17), uvećanje sočiva, a da je  $l=d$ , uvećanje na daljini jasnog vida dato je izrazom:

$$v = \frac{d}{f} + 1 \quad (28.22)$$

Kako se lik može videti između daljine jasnog vida i beskonačnosti, uvećanje lupе kreće se u granicama određeniim relacijama (28.21) i (28.22). Uvećanje lupе obično se kreće u granicama 2—10.

#### b. Mikroskop

Slini predmeti, odnosno detalji koji se ne mogu videti golim okom, posmatraju se mikroskopom. Pomocu mikroskopa se, prema tome, vidi lik nekog predmeta pod većim vidnim uglom, nego golim okom i to na daljini jasnog vida.

Mikroskop sačinjavaju objekti i okular, odnosno dva centrično postavljena sistema sočiva koji deluju kao sabirna sočiva. I objekti i okular su sastavljeni od više sočiva, kako bi se otklonili nedostaci sočiva.

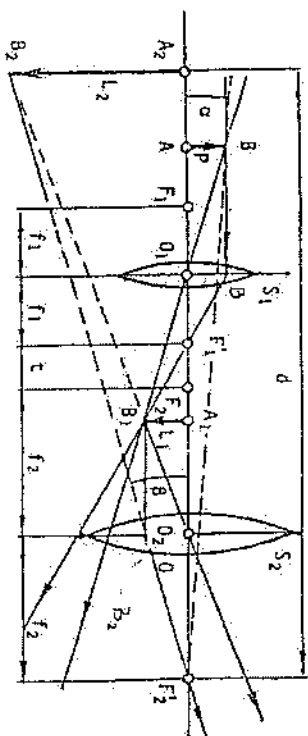
Dejovanje mikroskopa, odnosno dobijanje uvećanog lika, može se jednostavno objasniti pomocu dva sabirna sočiva od kojih je jedno objekti  $S_1$ , a drugo okular  $S_2$  (sl. 28.21). Ope su žižne daljine male, ali je žižna daljina objekta manja od žižne daljine okulara.

Predmet  $P$  se postavlja nešto ispred fokusa objekta  $p > f$ . Lik predmeta se obrazuje na rastojanju većem od dvostruke žižne daljine  $l > 2f$ . Okular je postavljen tako da lik objekta padne između žiže  $F_2$  i okulara. U tom slučaju okular deluje kao lupa i realan lik  $L_1$  predmeta  $P$ , posmatran kroz okular vidi se na daljini jasnog vida kao uvećan imaginaran lik  $L_2$ . U odnosu na lik  $L_1$ , on je uspravan, ali prema predmetu  $P$  on je obrnut. Iz ovoga se vidi da okular uvećava lik koji je dao objekti. Na taj način je postignuto da se lik predmeta vidi pod većim vidnim uglom  $\beta$  nego golim okom pod uglom  $\alpha$ .

Uvećanje lika ostvareno mikroskopom jednako je proizvodu uvećanja  $v_1$  objekta i uvećanja  $v_2$  okulara, tj.

$$v = v_1 \cdot v_2 \quad (28.23)$$

Radi bolje preglednosti na sl. 18.21 nije dat onaj odnos žižnih daljina objekta i okulara, kao ni položaji predmeta i likova, kakvi su oni stvarno.



Sl. 28.21

Glavno uvećanje daje objekti, jer okular deluje kao lupa. Linearno uvećanje mikroskopa određuje se na osnovu konstrukcije lika (sl. 18.21). Uvećanje objekta je:  $v_1 = L_1/P$ . Na osnovu sličnosti 1 to:  $\Delta O_1B_1F_1 \sim \Delta A_1B_1F_1$  sledi  $L_1/P = l/f_1$ , gde je  $l$  optička dužina tubusa (kod mikroskopa to je praktično razmak između objekta i okulara),  $f_1$  žižna daljina objekta, pa je uvećanje objekta:

$$v_1 = \frac{l}{f_1} \quad (28.24)$$

Uvećanje okulara je:  $v_2 = L_2/L_1$ . Na osnovu sličnosti:  $\Delta A_2B_2F_2 \sim \Delta O_2B_2F_2$  sledi:  $L_2/L_1 = d/f_2$ , gde je  $d$  — daljina jasnog vida, te je uvećanje okulara:

$$v_2 = \frac{d}{f_2} \quad (28.25)$$

Ukupno ugaono uvećanje mikroskopa, na osnovu relacije (28.23), jednako je proizvodu uvećanja objekta i okulara:

$$v = v_1 \cdot v_2 = \frac{L_1}{P} \cdot \frac{L_2}{L_1} = \frac{L_2}{P}$$

Ako se vrednosti iz (28.24) i (28.25) uvrste u (28.23), za uvećanje mikroskopa se dobija:

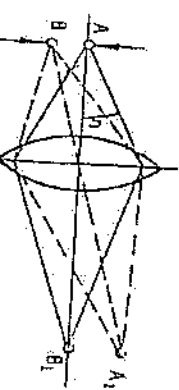
$$v = \frac{hd}{f_1 f_2} \quad (28.26)$$

Može se, na osnovu relacije (28.26), zaključiti da je, ukoliko su žižne daljine okulara i objekta manje, a dužina tubusa veća, uvećanje mikroskopa veće. Uzroci ograničenja su različiti, počev od nedostatnaka sočiva, pa do talasne prirode svetlosti. Osvetljenost slike opada sa kvadratom uvećanja, a time njen kvalitet slabi. Pri

običnom mikroskopiiranju, zbog toga, se upotrebljava izdubljeno ogledalo i sabirno sočivo, kao kondenzor koji sakupljene zrake usmeravaju na mikroskopirani predmet. Abbe je dokazao da u objektiv ulazi više svetlosti, ukoliko je njegova numerička apertura (otvor) veća. Ona je data izrazom:

$$A = n \sin \eta \quad (28.27)$$

gde je  $n$  indeks prelamanja sredine između predmeta i objektiva, a  $\eta$  je polovina ugla otvora objektiva, u odnosu na tačku  $A$  (na optičkoj osi). Granica uvećanja mikroskopa vezana je za njegovu moć razlaganja. Veliko uvećanje nema opravdanja



Sl. 28.22

ukoliko se predmet (naravno detalji) ne vide jasno. Moć razlaganja je utoliko veća, ukoliko su dve bliske tačke  $A$  i  $B$  na manjem rastojanju, a vide se odvojeno (Sl. 28.22). Neka je sa  $\delta$  označeno rastojanje pomenutih tačaka, tada se na osnovu relacije:

$$\delta = \frac{\lambda}{A} \quad (28.28)$$

gde je  $\lambda$  — talasna dužina upotrebljene svetlosti,  $A$  — numerička apertura objektiva, može zaključiti da će ovo rastojanje biti manje, ukoliko se upotrebi svetlost kraće talasne dužine i ako je numerička apertura  $A$  veća.

Recipročna vrednost  $1/\delta$  određuje moć razlaganja, odnosno:

$$\frac{1}{\delta} = \frac{A}{\lambda} = \frac{n \sin \eta}{\lambda} \quad (28.29)$$

Veća moć razlaganja se postiže, ako se upotrebi monohromatska svetlost kraće talasne dužine i monohromatinska imerzija ( $A=1,6$ ). U tom je slučaju najmanji razmak  $\delta=10^{-7}$  m (ultrajubičasti mikroskop). Ovo je granica moći razlaganja mikroskopa, a s tim u vezi i granica uvećanja. Dalje povećanje moći razlaganja, odnosno uvećanja, postiže se korišćenjem elektronskog mikroskopa.

### III. FIZIČKA (TALASNA) OPTIKA

#### 29. INTERFERENCIJA, DIFRAKCIJA I POLARIZACIJA SVETLOSTI

Postoji nekoliko optičkih fenomena koji se mogu objasniti (opisati) samo pomoću talasne prirode svetlosti. Oblasť fizike koja se bavi izučavanjem ovih pojava naziva se *fizička* ili *talasna optika*. U ovom je poglavlju izloženo kako se prilikom prostiranja svetlosti javljaju talasne pojave: *interferencija*, *difrakcija* i *polarizacija* i kako one dokazuju da je svetlost transverzalni elektromagnetni talas.

##### 29.1. INTERFERENCIJA SVETLOSTI. KOHERENTNA SVETLOST

U okviru mehanike (Deo I, glava XII) opisana je interferencija mehaničkih talasa. Istaknuto je da se interferencija javlja pri susretu dva talasna poremećaja u elastičnoj sredini i to samo u slučaju ako su talasi koherentni. Efekat interferencije se ogleda u tome da u zavisnosti od stalne fazne razlike između talasa na nekim delovima elastične sredine postoje oscilacije velikih amplituda, dok su na drugim delovima amplitude oscilovanja primetno manje. Ako oba talasa potiču od jednog izvora, njihova je fazna razlika određena putnom razlikom  $\delta$ . Oscilacije maksimalnih amplituda pri susretu talasa jednake talasne dužine javljaju se na onim mestima na kojima je putna razlika između talasa jednaka celobrojnom umnošku talasne dužine:

$$\delta = k\lambda, \quad k=0, \pm 1, \pm 2, \dots \quad (29.1)$$

Minimalne amplitude se nalaze na mestima na kojima je putna razlika jednaka neparnom umnošku polovine talasne dužine:

$$\delta = (2k+1) \frac{\lambda}{2}, \quad k=0, \pm 1, \pm 2, \dots \quad (29.2)$$

Ako se prihvatiti da je svetlost elektromagnetni talas, slična se pojava može očekivati i pri susretu dva snopa svetlosti. Kako je intenzitet svetlosti proporcionalan kvadratu amplitude elektromagnetnih oscilacija, efekat interferencije treba da izazove pojavu svetlih i tamnih mesta na ekranu koji se postavlja na mesto susreta svetlosnih snopova.

Medutim, eksperimenti u kojima je ekran osvetljen sa dva identična svetlosna izvora nisu pokazali efekat interferencije. Ovakvi ogledi ne dovode do interferencije svetlosti, jer svetlost koju zrače prirodni i vešta veštačkih izvora potiče od velikog broja atoma koji emituju na potpuno neuređen, haotičan način. Usled toga se i faze emitovanih svetlosnih talasa menjaju haotično, te su talasi nekoherentni i ne pokazuju pojavu interferencije. Da bi se interferencija svetlosti osvarila, potrebno